

Il Protone, questo sconosciuto – Parte I

Da cosa è composto il protone?

Nicolò Valle, Paolo Pedroni

11 dicembre 2018

Università di Pavia

Quali sono i costituenti ultimi della materia?

Quali sono le forze elementari che governano le loro interazioni?

Quali sono i costituenti ultimi della materia?

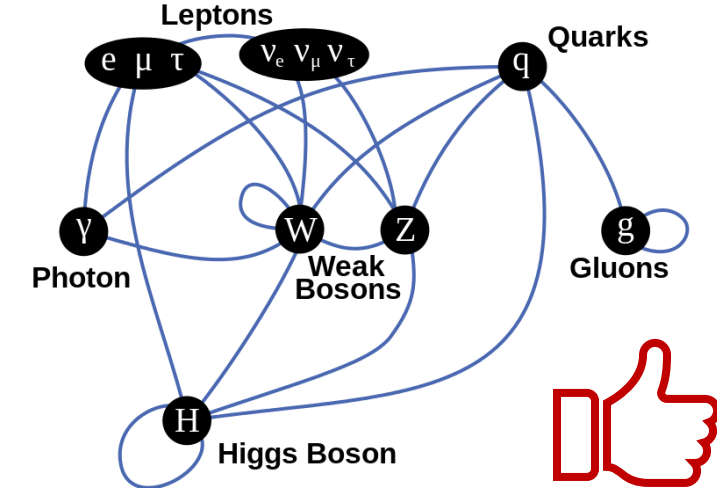
Quali sono le forze elementari che governano le loro interazioni?

Quali sono i possibili stati della materia?

Quali sono i costituenti ultimi della materia?



Quali sono le forze elementari che governano le loro interazioni?

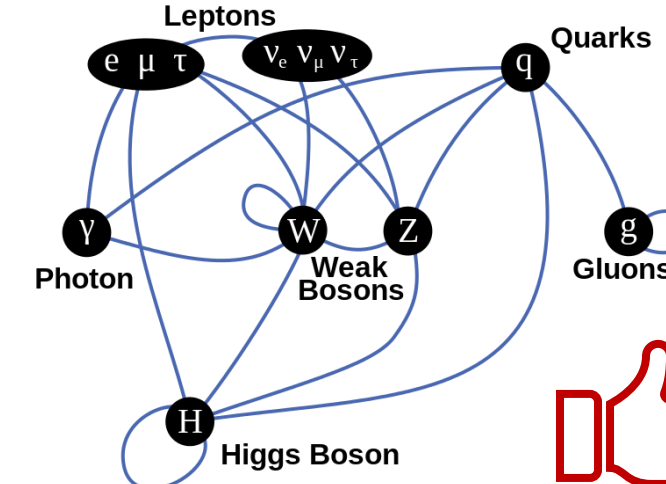


Quali sono i possibili stati della materia?

Quali sono i costituenti ultimi della materia?



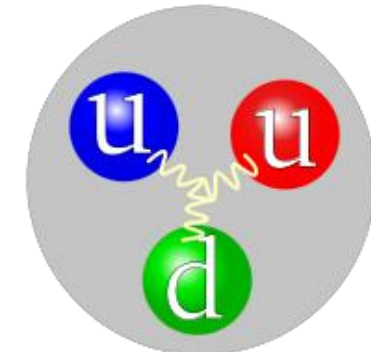
Quali sono le forze elementari che governano le loro interazioni?



Quali sono i possibili stati della materia?



Come è fatto il nucleone??



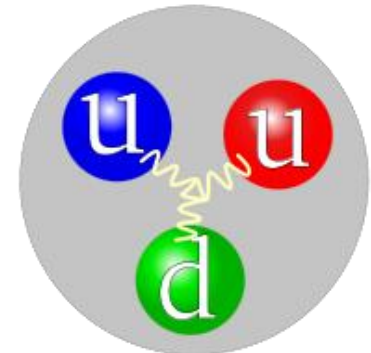
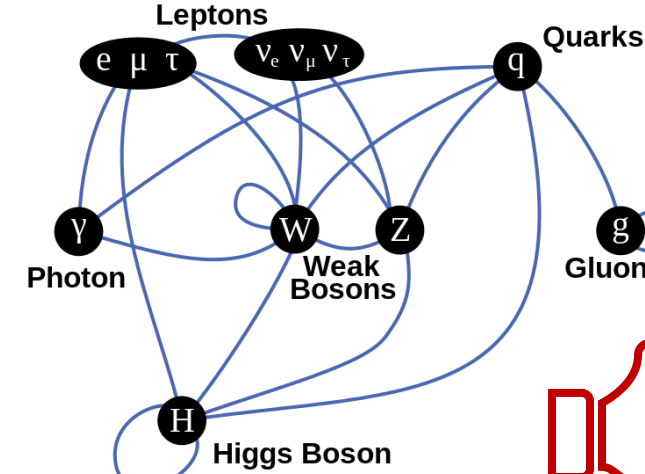
$$\begin{array}{r} 2 \text{ MeV} \\ + \\ 2 \text{ MeV} \\ + \\ 4 \text{ MeV} \end{array} \neq 938 \text{ MeV}$$

Quali sono i costituenti ultimi della materia?

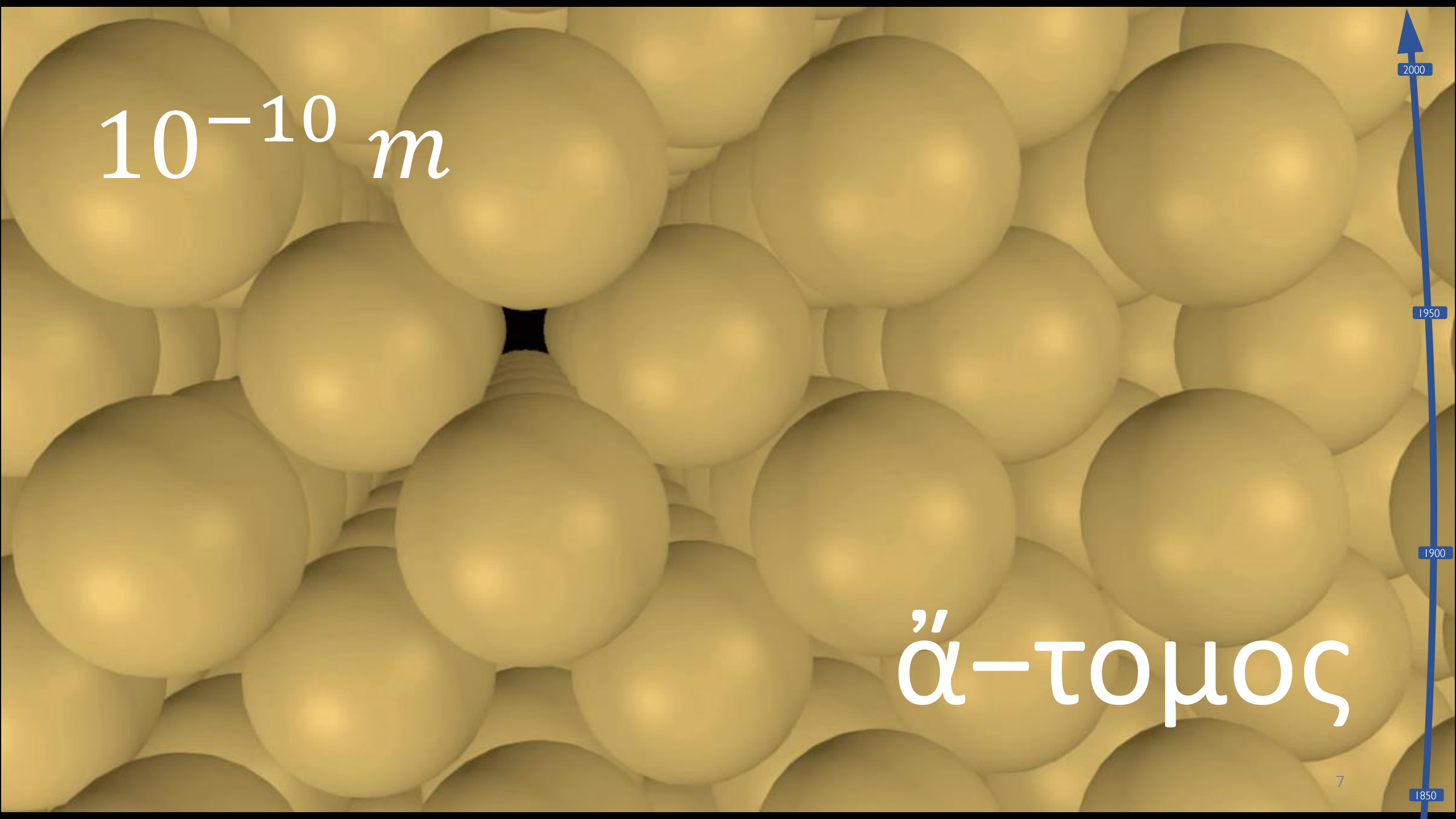
Quali sono le forze elementari che governano le loro interazioni?

Quali sono i possibili stati della materia?

Come è fatto il nucleone??



$$\begin{aligned} 2 \text{ MeV} \\ + \\ 2 \text{ MeV} \\ + \\ 4 \text{ MeV} \\ \neq 938 \text{ MeV} \end{aligned}$$



$10^{-10} m$

α-τομος



2000

1950

1900

1850

8

J.J. Thomson



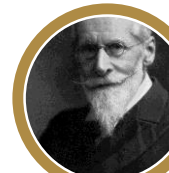
W.R. Röntgen



A. H. Becquerel



M. Curie

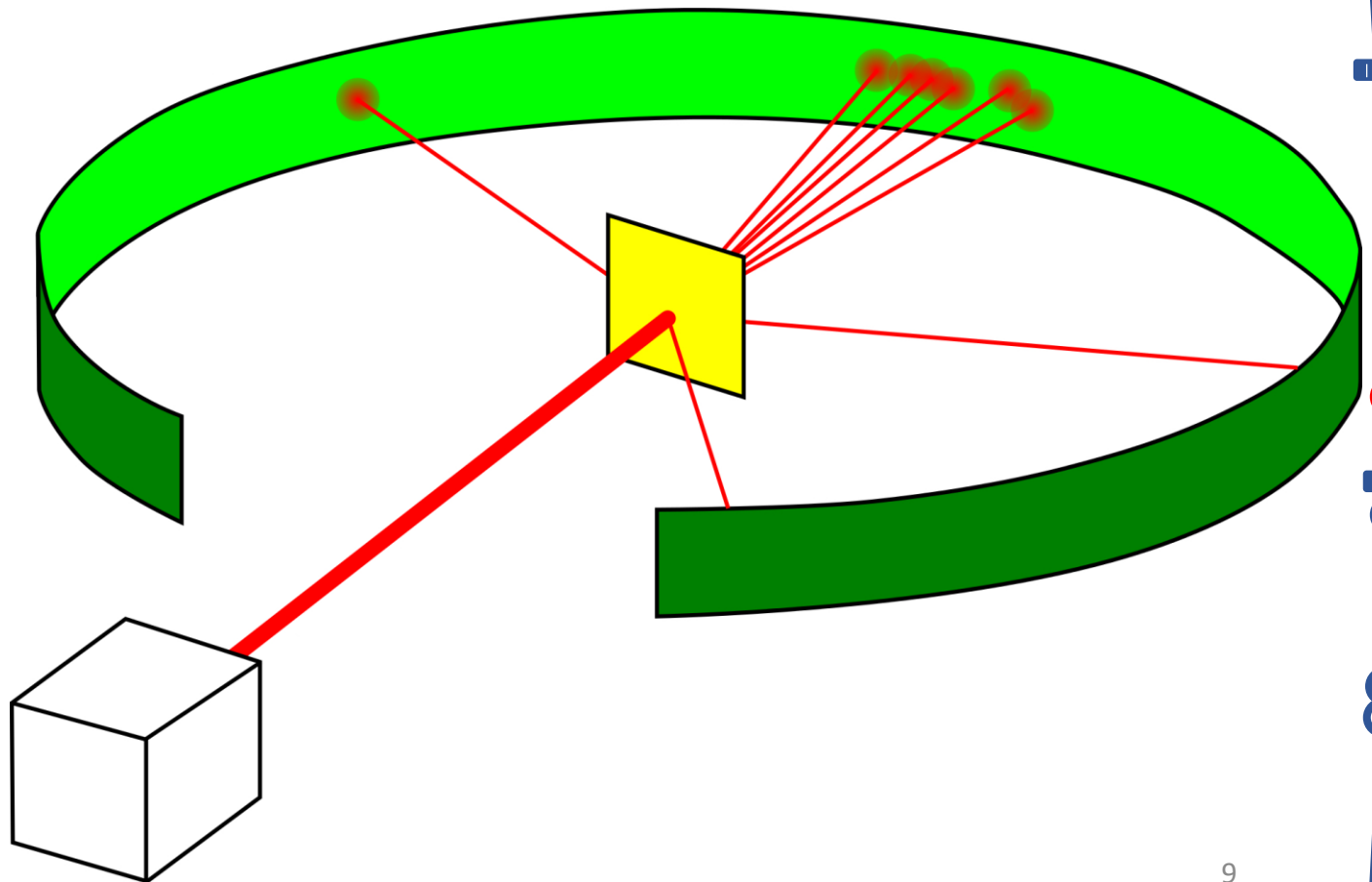


W. Crookes



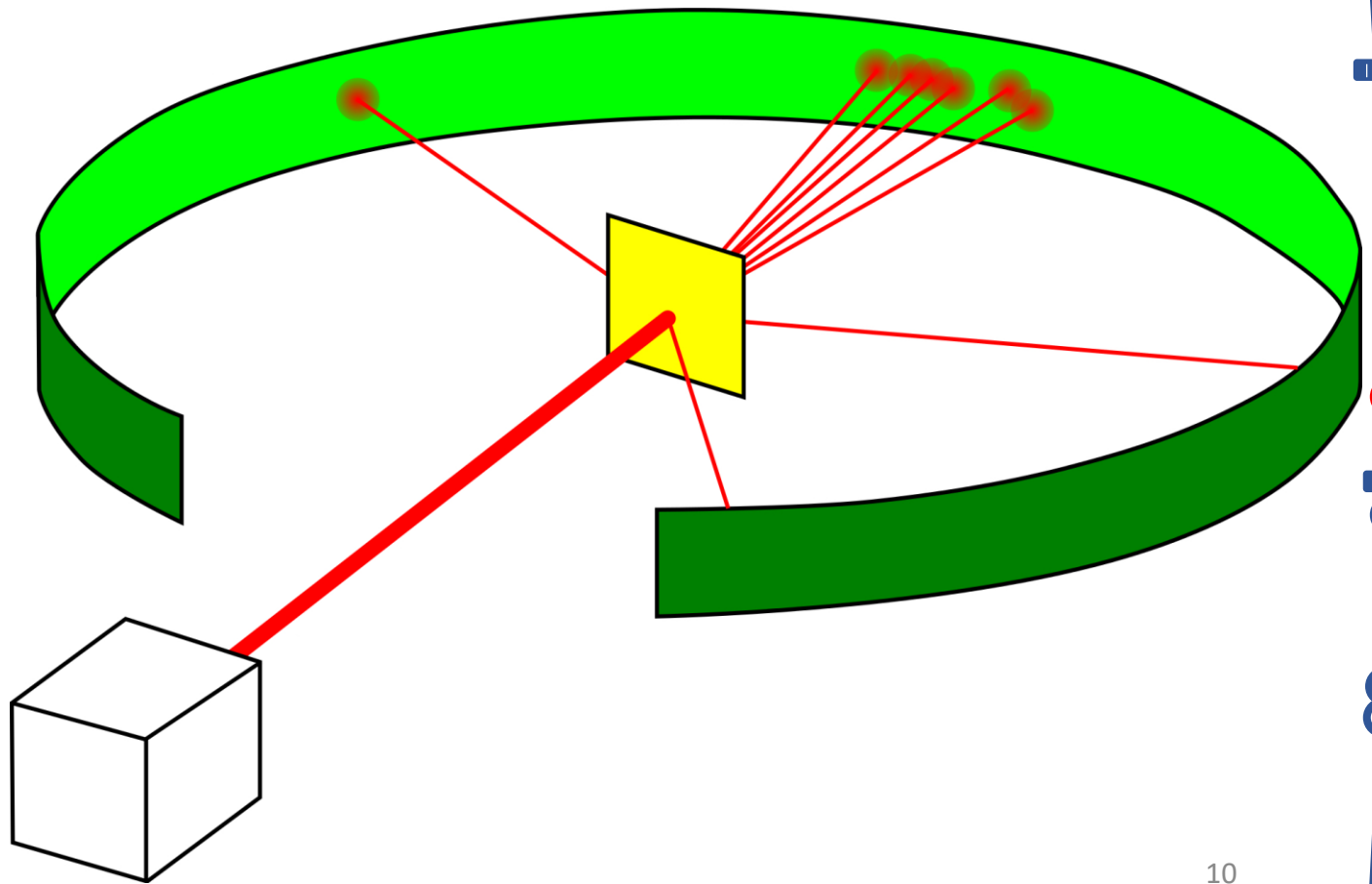
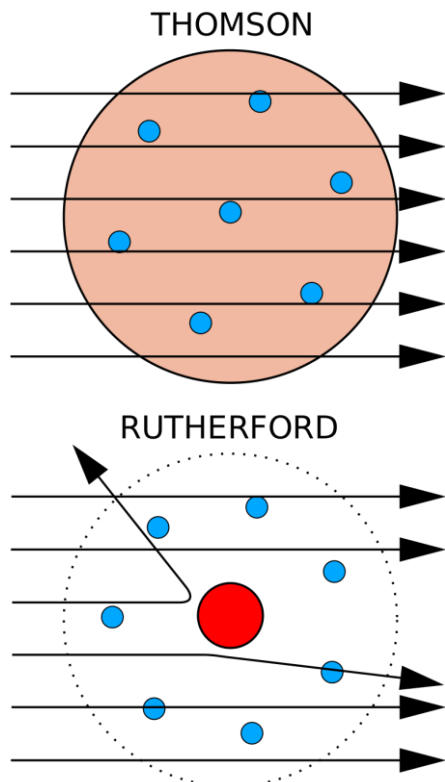
“It seems reasonable to suppose that the deflexion through a large angle is due to a single atomic encounter... A simple calculation shows that the atom must be a seat of an intense electric field in order to produce such a large deflexion at a single encounter.”

E. Rutherford, 1911



"It seems reasonable to suppose that the deflexion through a large angle is due to a single atomic encounter... A simple calculation shows that the atom must be a seat of an intense electric field in order to produce such a large deflection at a single encounter."

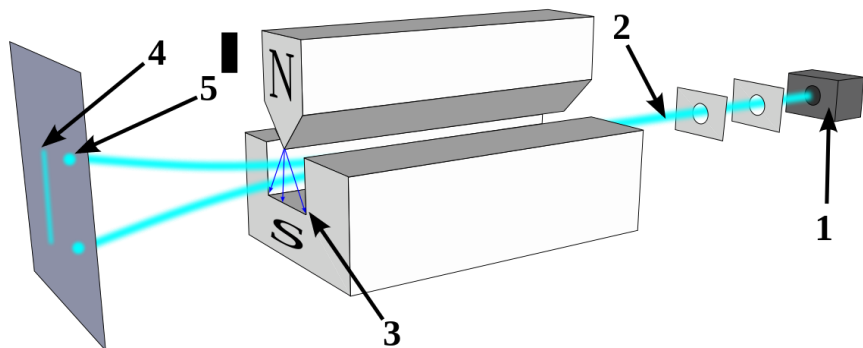
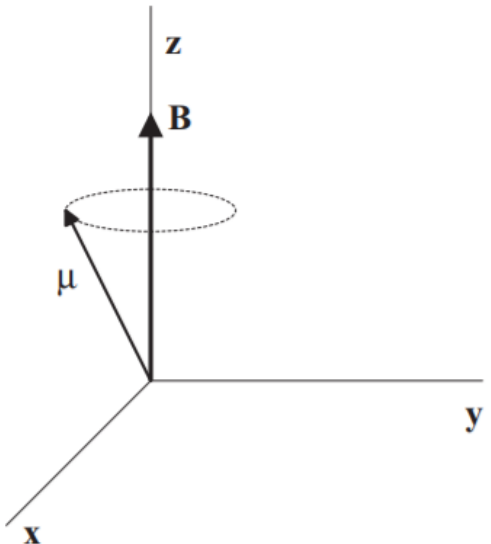
E. Rutherford, 1911



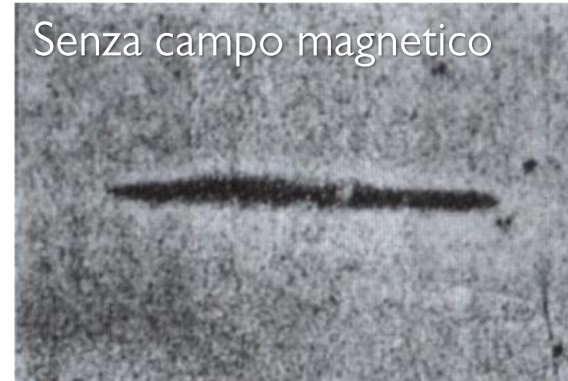
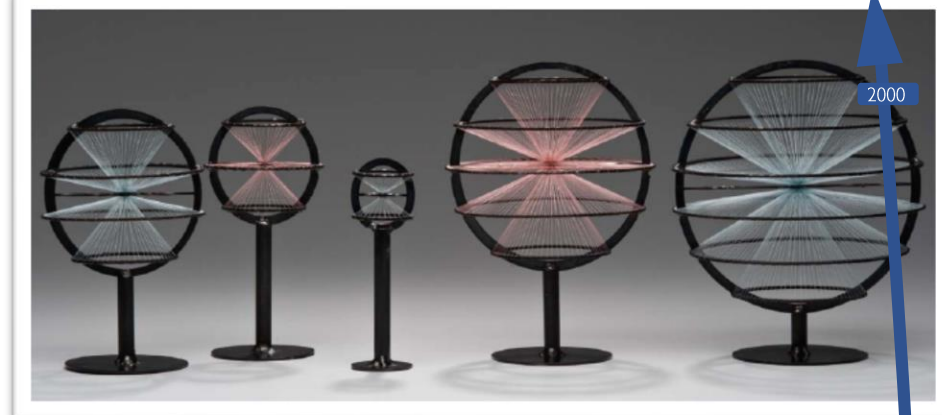
SPIN

Stern, Gerlach (1922)

$$F = \mu_z \cdot \frac{\partial B}{\partial z}$$



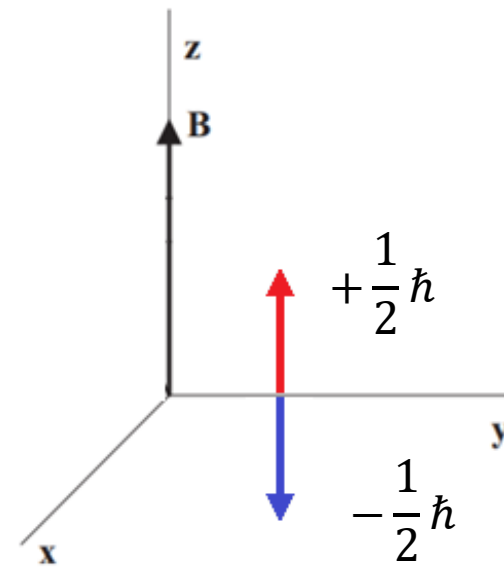
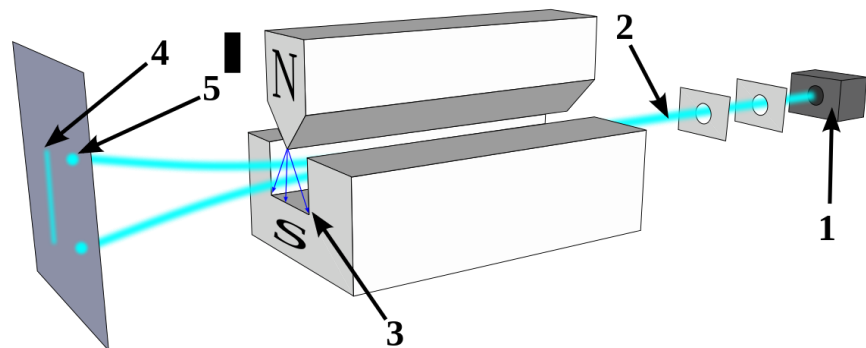
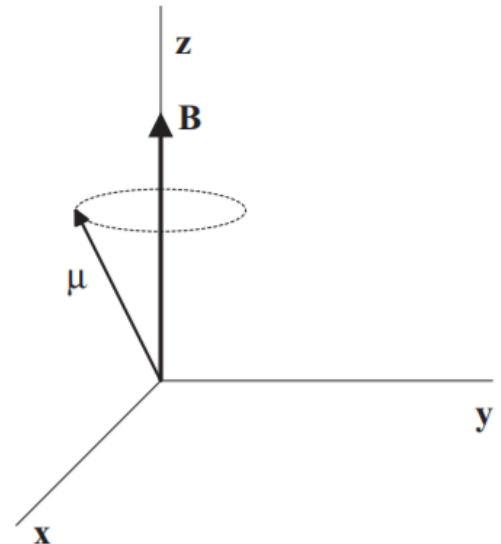
$$\mu_{Ag} = \mu_B = \frac{e\hbar}{2m_e} = 9.27 \times 10^{24} \text{ JT}^{-1} (\pm 10\%)$$



SPIN

Stern, Gerlach (1922)

Uhlenbeck e Goudsmit (1925)



SPIN

Stern, Gerlach (1922)

Uhlenbeck e Goudsmit (1925)

Dirac (1928)

«The question remains as to why Nature should have chosen this particular model for the electron instead of being satisfied with the point-charge.»



$$E = \dots + \frac{e\hbar}{2m} \mathbf{B} \cdot \boldsymbol{\sigma}$$



SPIN

Stern, Gerlach (1922)

Uhlenbeck e Goudsmit (1925)

Dirac (1928)

«The question remains as to why Nature should have chosen this particular model for the electron instead of being satisfied with the point-charge.»

Stern, et al. *Magnetic moment of the Proton (1933)*

$$\mu_p = \frac{e\hbar}{2m_p} ?$$

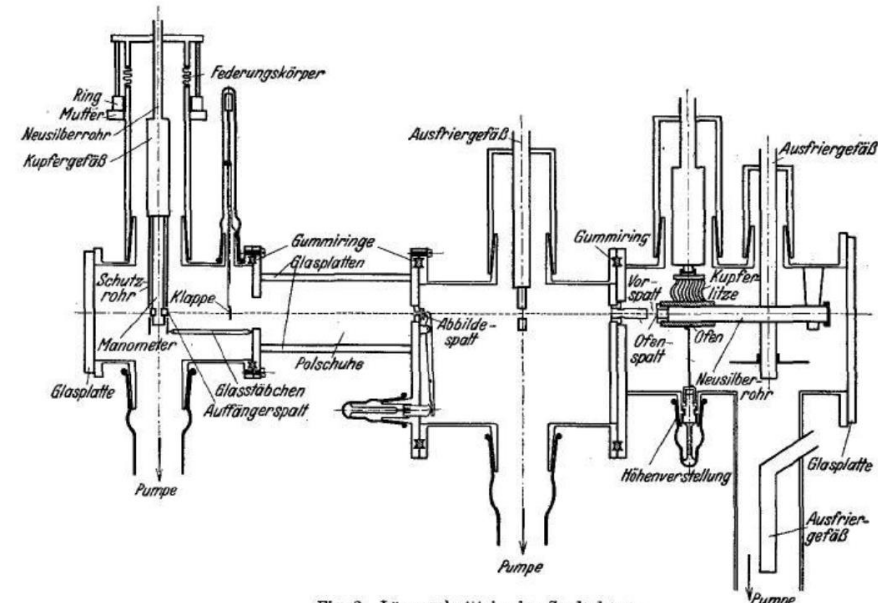


Fig. 2. Längsschnitt in der Spaltebene.

SPIN

Stern, Gerlach (1922)



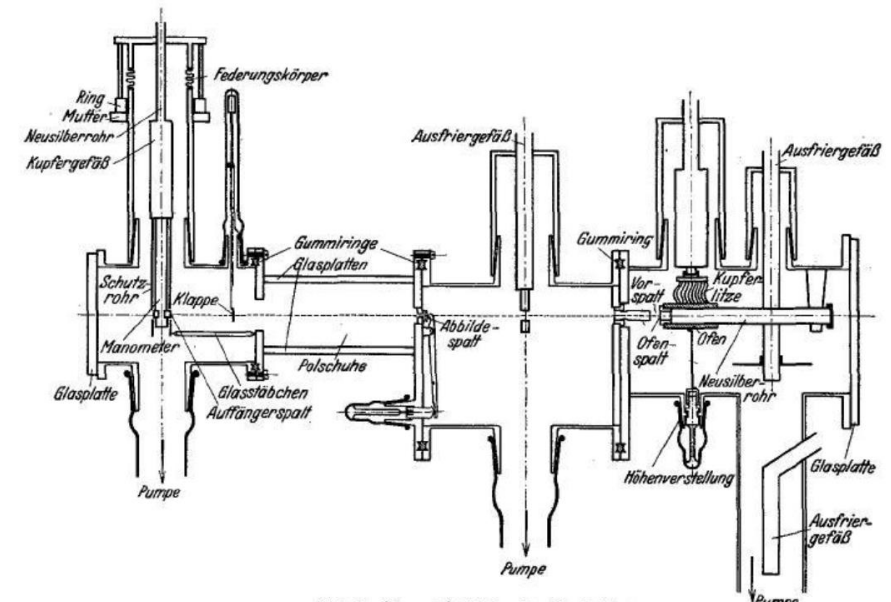
Uhlenbeck e Goudsmit (1925)

Dirac (1928)

«The question remains as to why Nature should have chosen this particular model for the electron instead of being satisfied with the point-charge.»

Stern, et al. *Magnetic moment of the Proton* (1933)

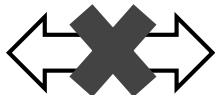
$$\mu_p = \frac{e\hbar}{2m_p} (1 + k_p) \quad k_p = 1.5 \pm 10\%$$



SPIN



Momento magnetico
anomalo



Particella
puntiforme



SPIN



Momento magnetico
anomalo



Particella
puntiforme

- I. Il protone non è elementare
e ha dimensione finita
→*Fattori di forma*



SPIN



Momento magnetico anomalo



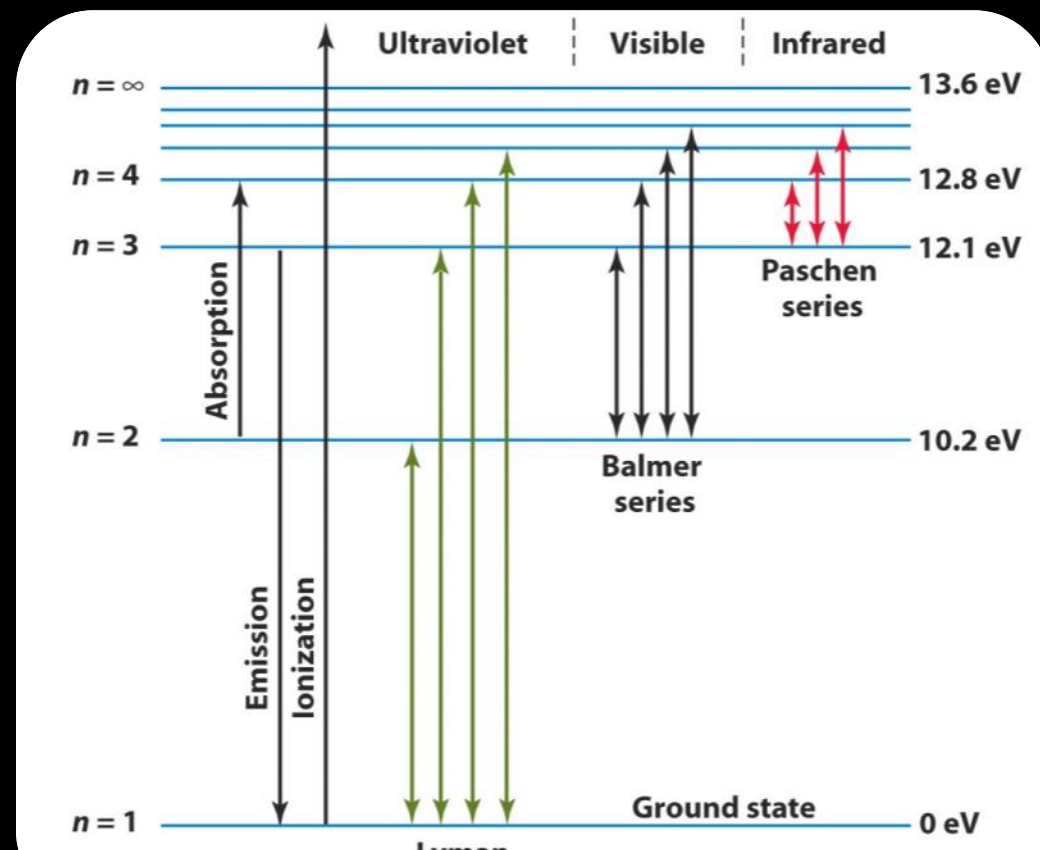
Particella puntiforme

1. Il protone non è elementare e ha dimensione finita
→ *Fattori di forma*

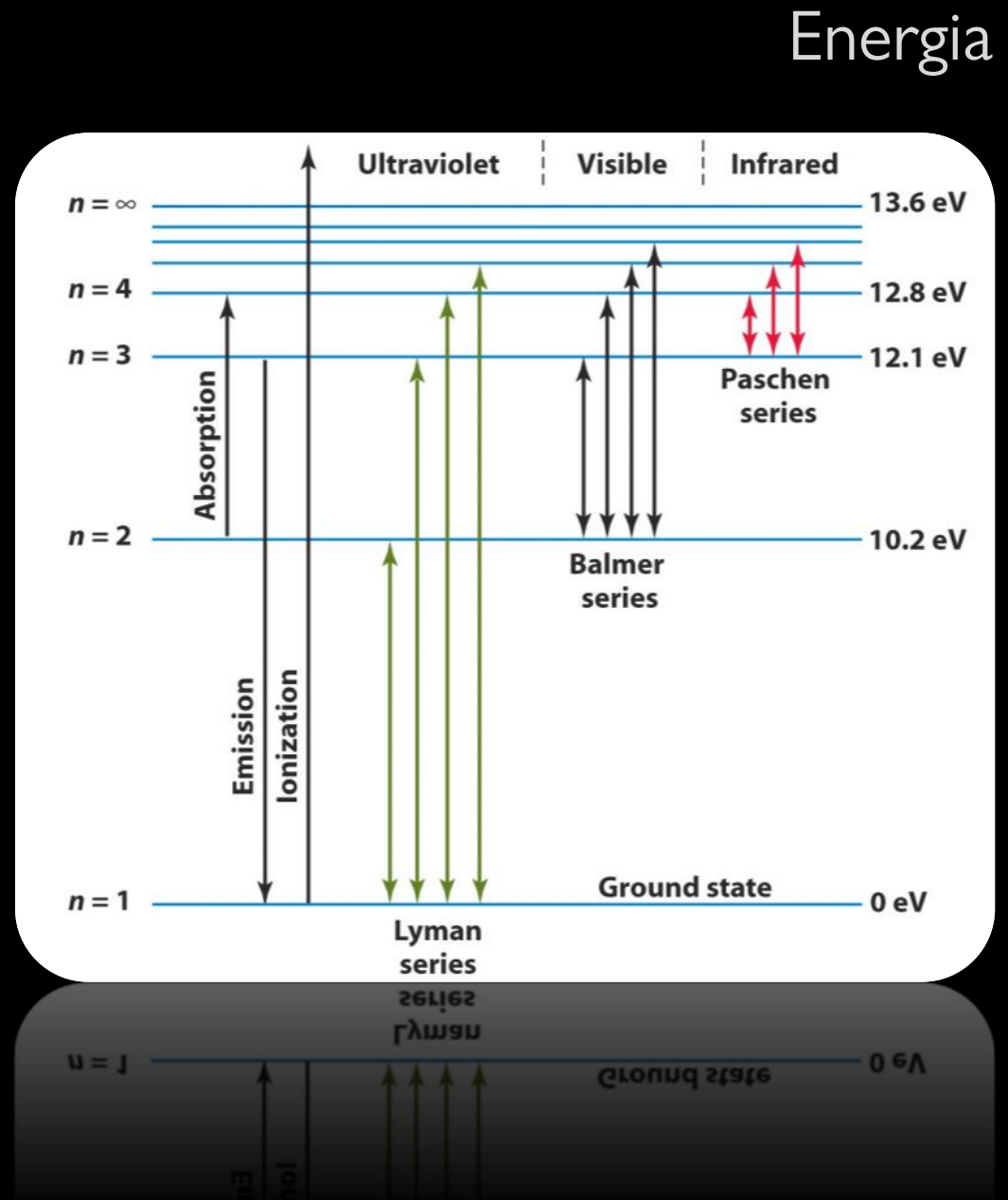
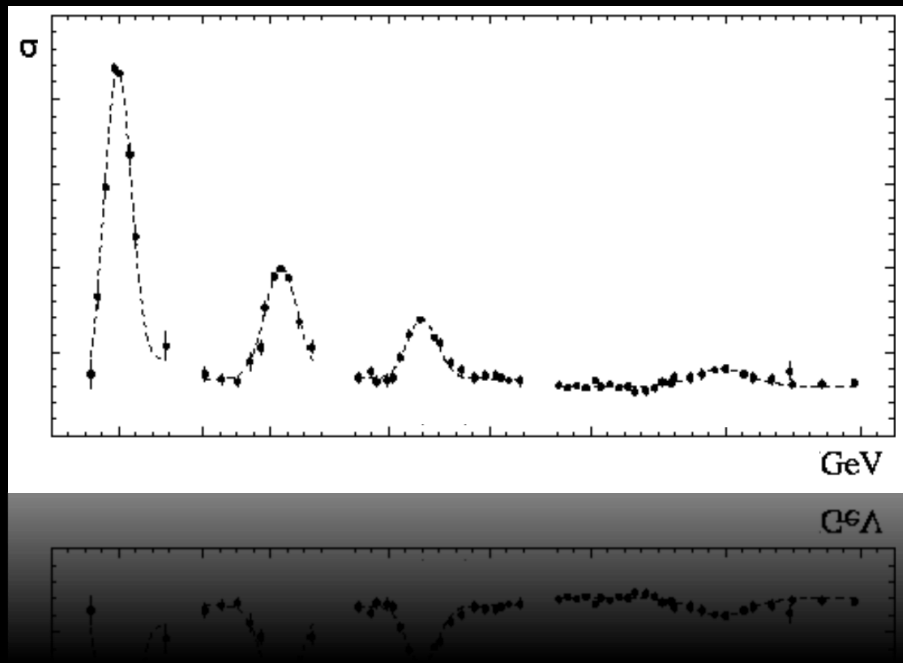
2. Deve possedere uno spettro di eccitazione
→ *Stati eccitati*



Energia



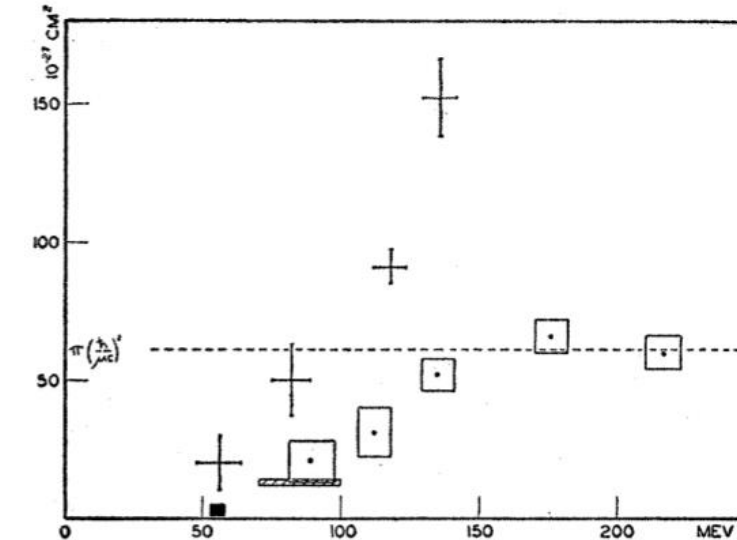
$$\sigma(\gamma p \rightarrow f) = \frac{n_f}{n_\gamma} \frac{1}{\rho_p \Delta z}$$



Scattering con pioni

Fermi (1952)

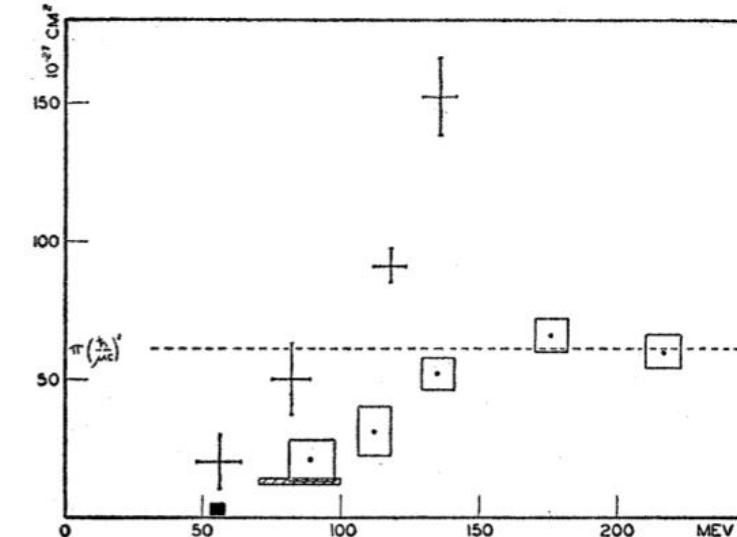
1. $\pi^+ p \rightarrow \pi^+ p$
2. $\pi^- p \rightarrow \pi^0 n$
3. $\pi^- p \rightarrow \pi^- p$



Scattering con pioni

Fermi (1952)

1. $\pi^+ p \rightarrow \pi^+ p$
2. $\pi^- p \rightarrow \pi^0 n$
3. $\pi^- p \rightarrow \pi^- p$



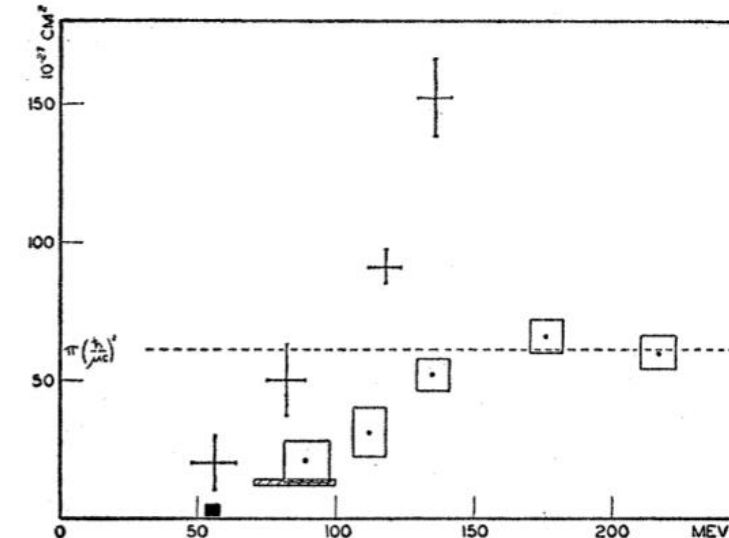
Brueckner: risonanza con spin 3/2 e isospin 3/2

- Rapporto sezioni d'urto 9 : 2 : 1
- Distribuzione angolare $\propto \cos^2 \vartheta$

Scattering con pioni

Fermi (1952)

1. $\pi^+ p \rightarrow \pi^+ p$
2. $\pi^- p \rightarrow \pi^0 n$
3. $\pi^- p \rightarrow \pi^- p$

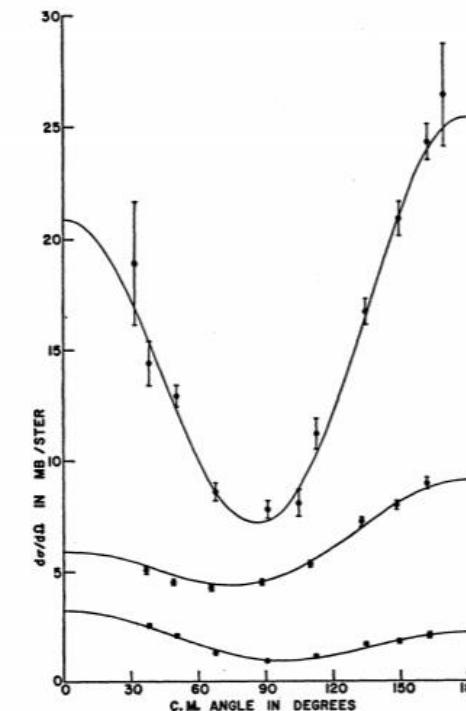


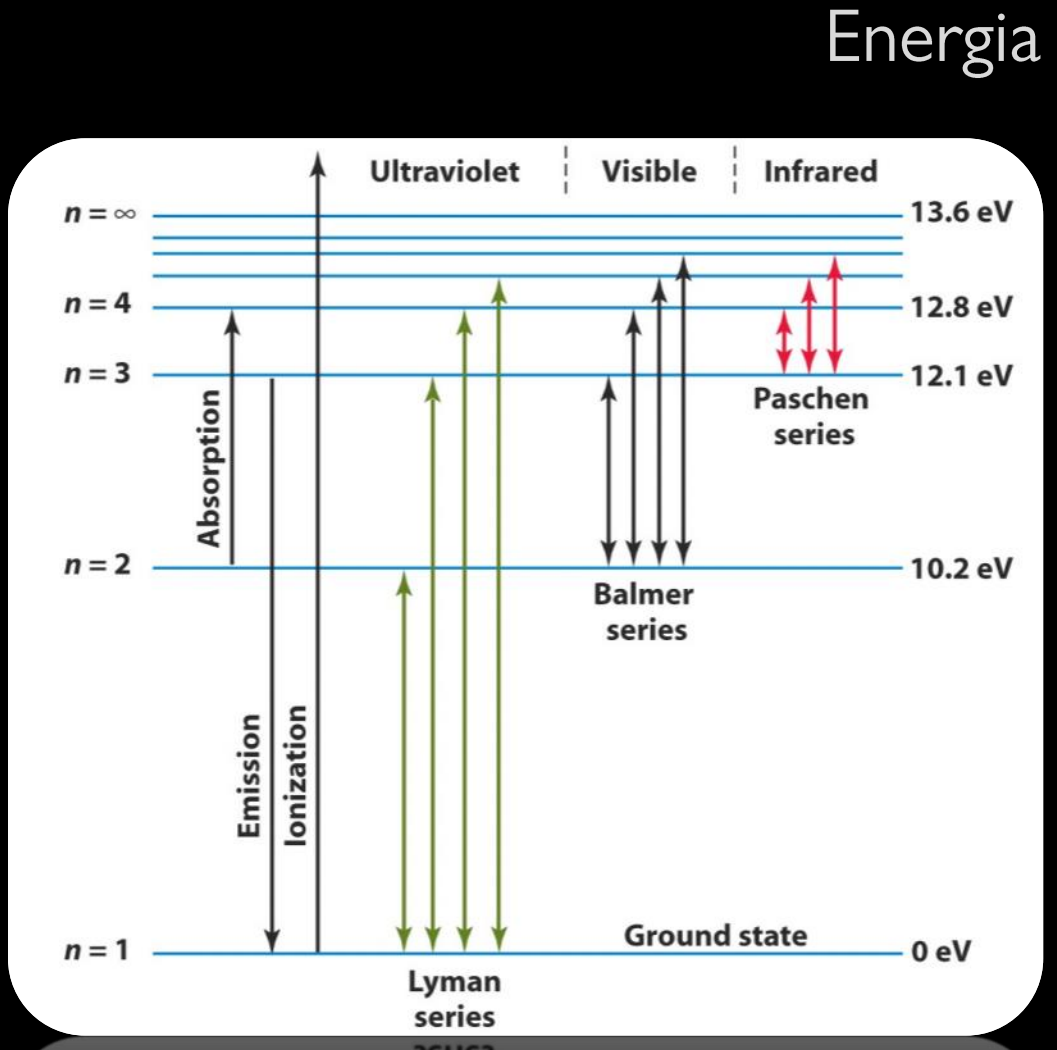
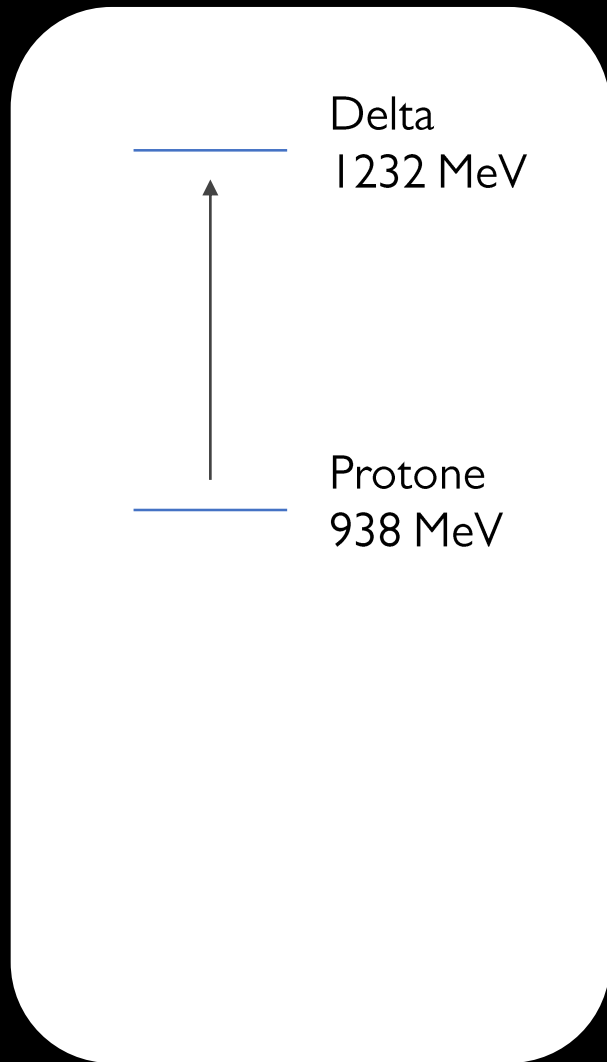
Brueckner: risonanza con spin 3/2 e isospin 3/2

- Rapporto sezioni d'urto 9 : 2 : 1
- Distribuzione angolare $\propto \cos^2 \vartheta$

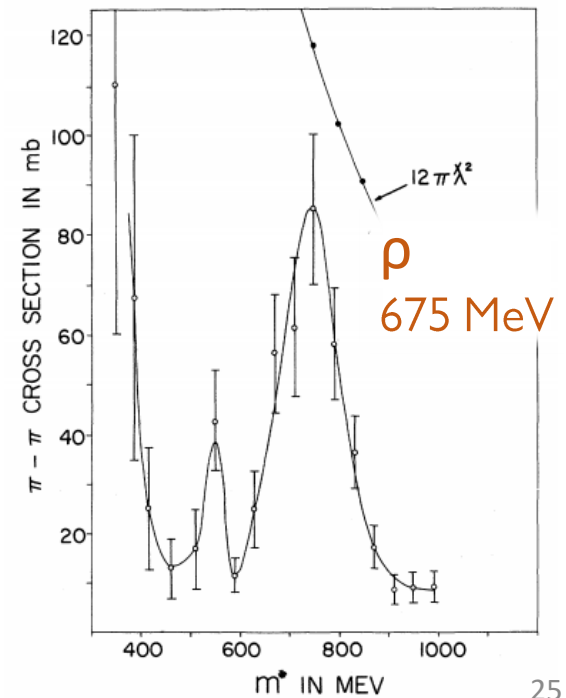
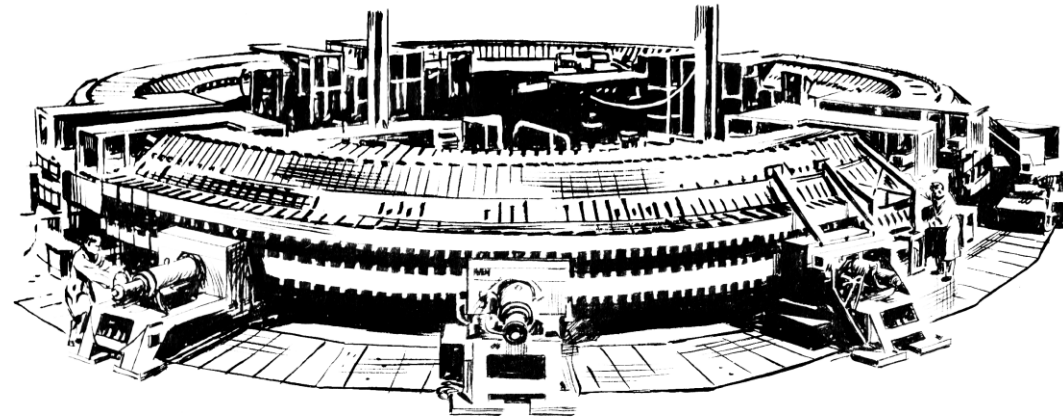
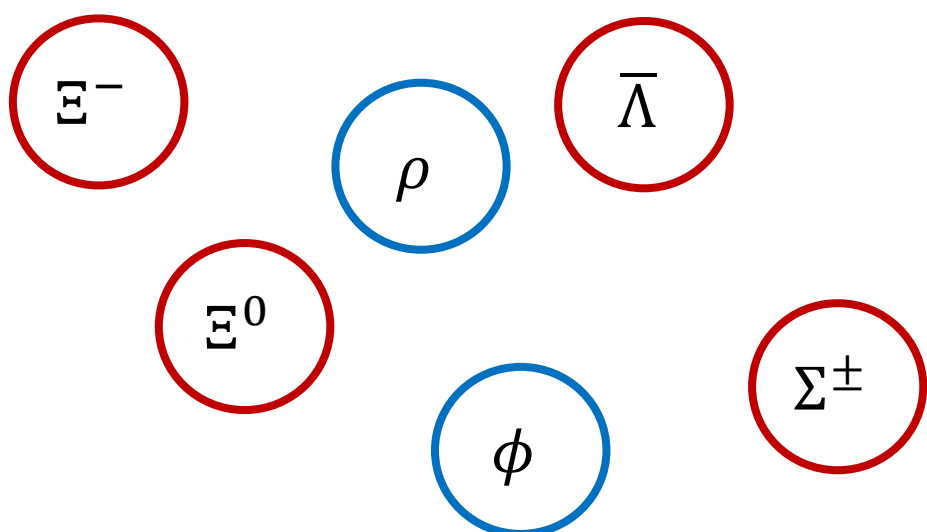
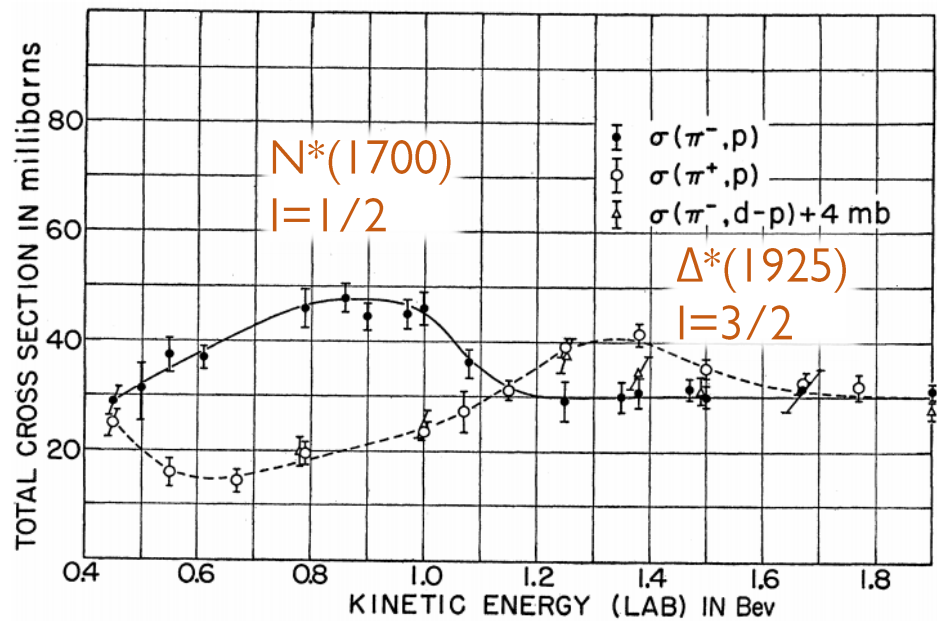
Ashkin et al, *Pion-Proton Scattering at 150 and 170 Mev (1955)*

Primo stato eccitato: $\Delta(1232)$





Risonanze



Timeline of particle physics milestones:

- 1850: Discovery of cathode rays
- 1900: Discovery of alpha particles
- 1905: Theory of relativity
- 1911: Discovery of protons
- 1925: Discovery of mesons
- 1950: Discovery of antiprotons
- 1955: Discovery of charm quarks
- 1964: Discovery of gluons
- 1974: Discovery of strange quarks
- 1976: Discovery of top quark
- 1983: Discovery of bottom quark
- 1995: Discovery of Higgs boson
- 2000: Discovery of dark matter

- Gell-Mann e Ne'eman, 1961. Simmetria SU(3)
- Gell-Mann e Zweig, 1964

THE EIGHTFOLD WAY:

A THEORY OF STRONG INTERACTION SYMMETRY

Murray Gell-Mann

March 15, 1961

3 particelle elementari
per costruire tutti i barioni e i mesoni

$Q = +2/3$



$S = 1/2$

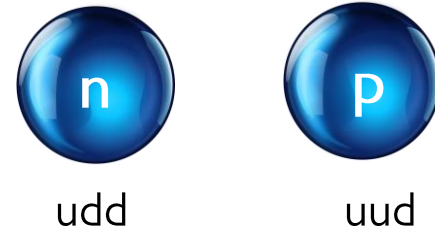
$Q = -1/3$





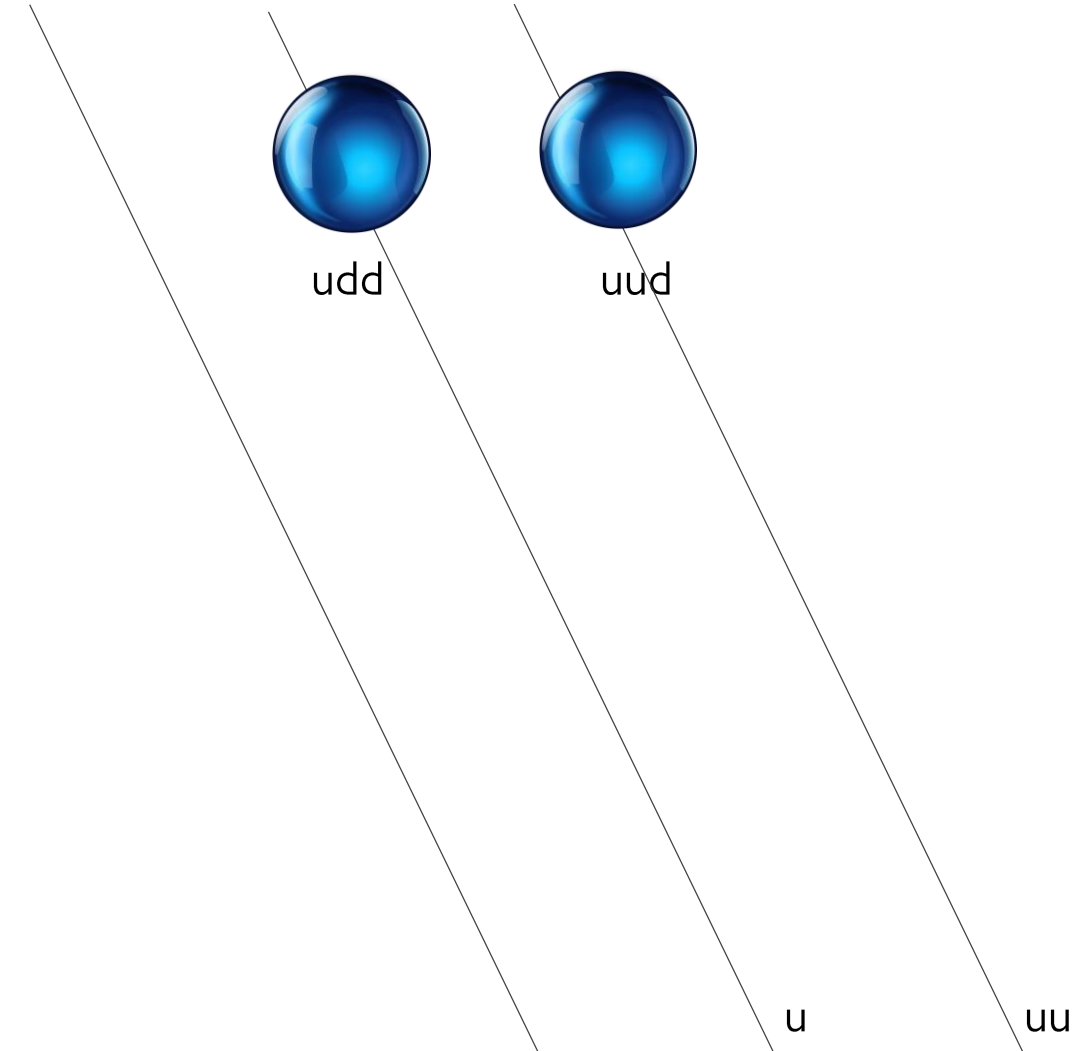
- Gell-Mann e Ne'eman, 1961. Simmetria SU(3)
- Gell-Mann e Zweig, 1964

3 particelle elementari
per costruire tutti i barioni e i mesoni



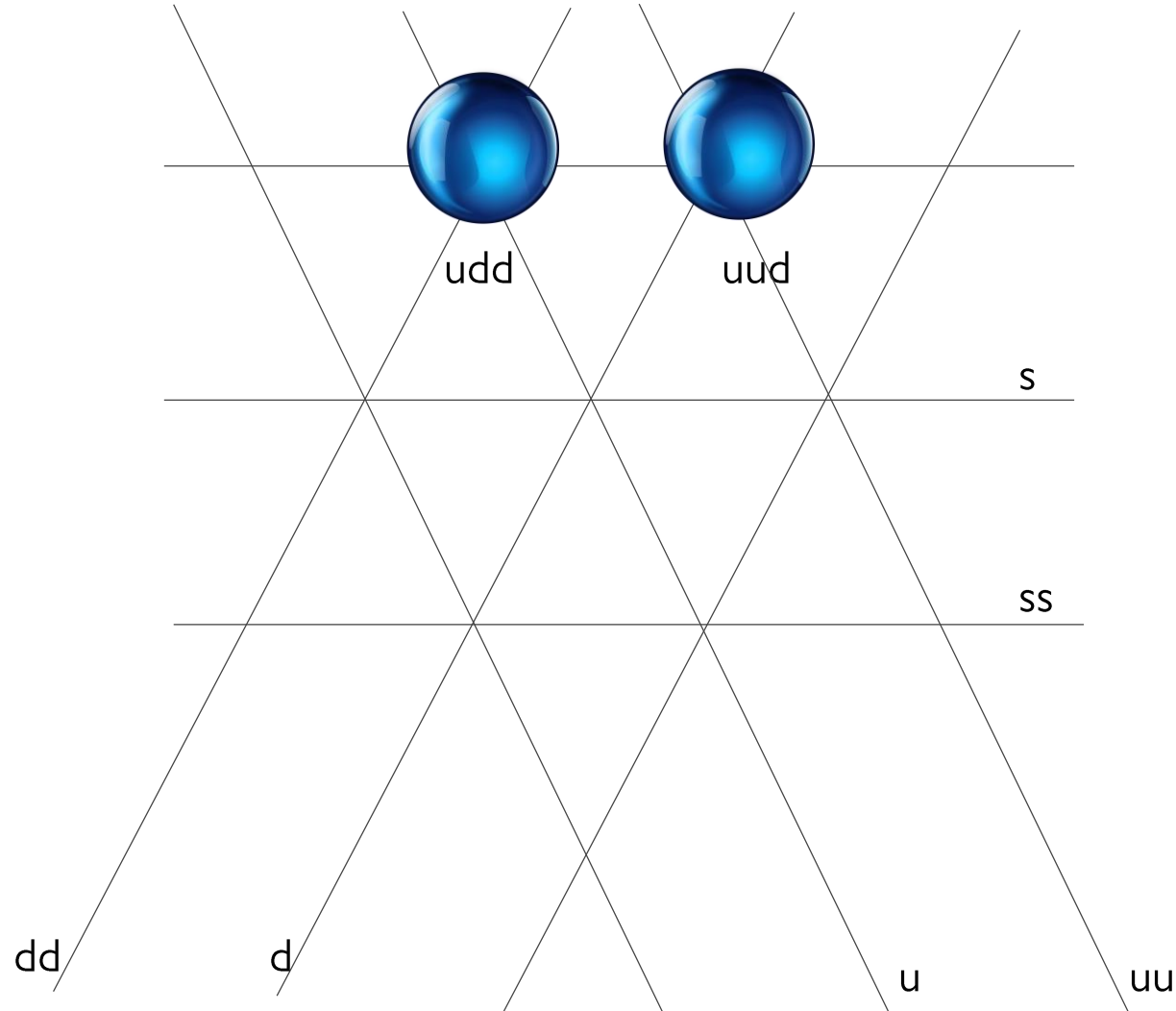
- Gell-Mann e Ne'eman, 1961. Simmetria SU(3)
- Gell-Mann e Zweig, 1964

3 particelle elementari
per costruire tutti i barioni e i mesoni



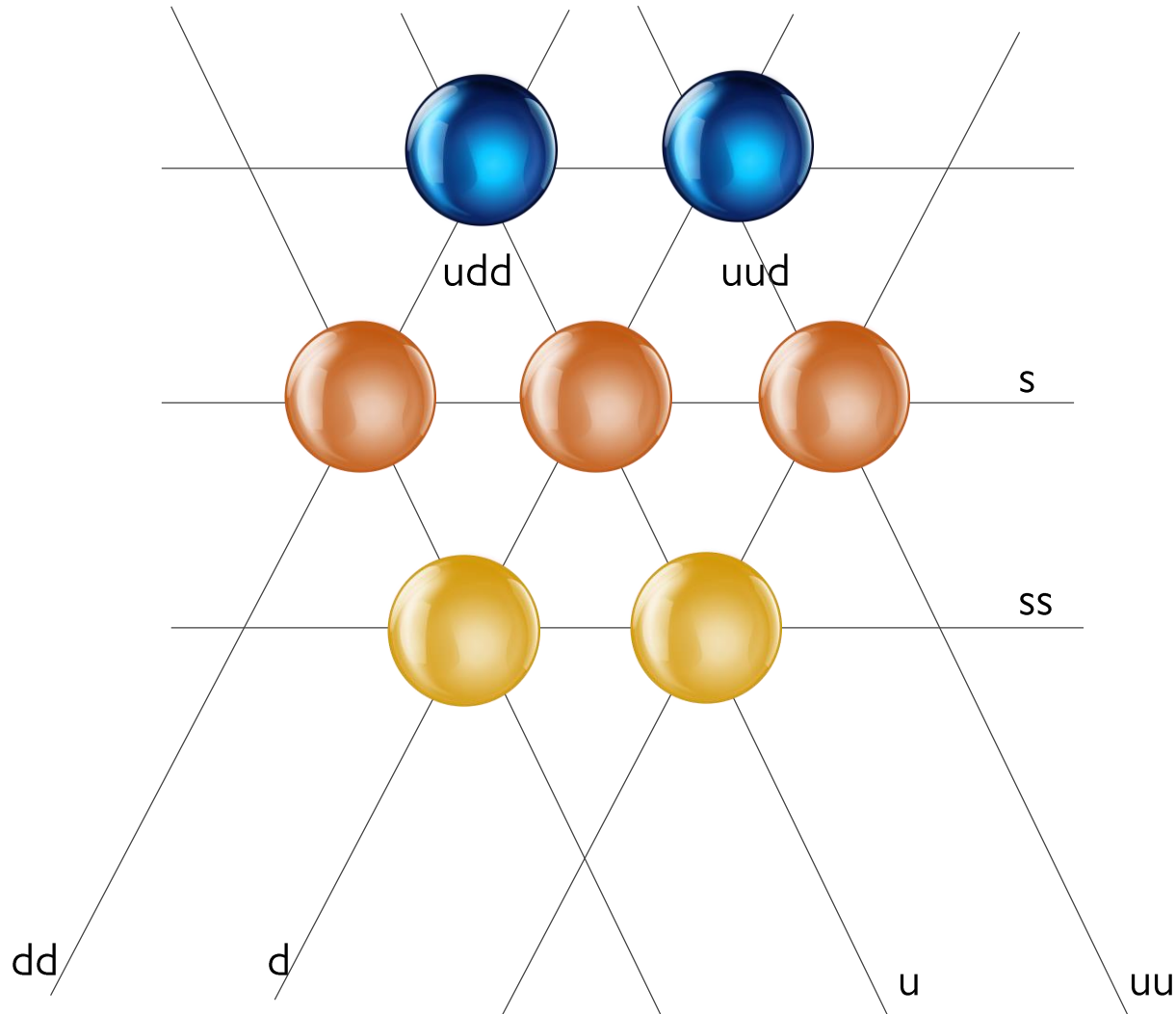
- Gell-Mann e Ne'eman, 1961. Simmetria SU(3)
- Gell-Mann e Zweig, 1964

3 particelle elementari
per costruire tutti i barioni e i mesoni



- Gell-Mann e Ne'eman, 1961. Simmetria SU(3) & *Eightfold Way*
- Gell-Mann e Zweig, 1964

3 particelle elementari
per costruire tutti i barioni e i mesoni

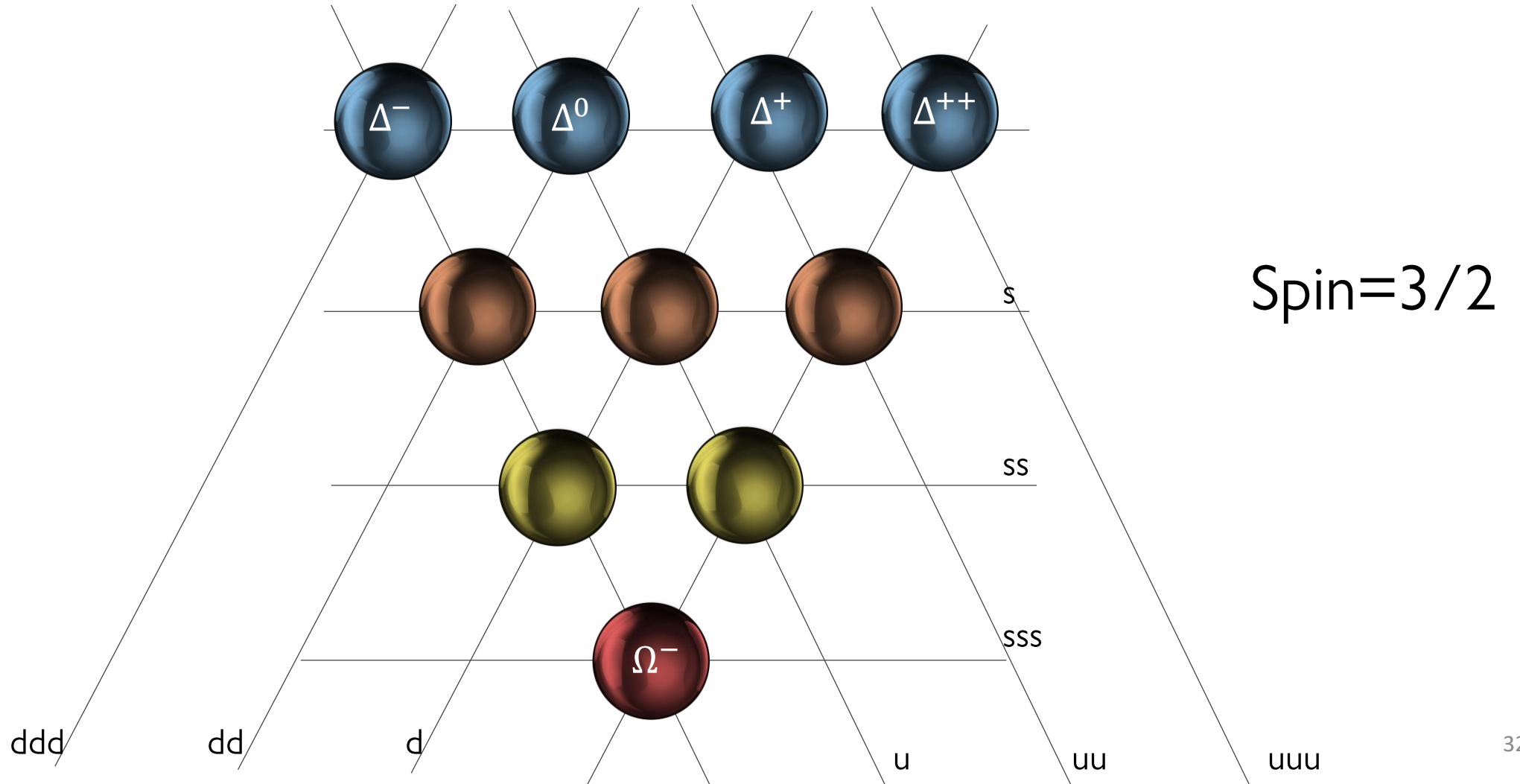


Spin=1/2



- Gell-Mann e Ne'eman, 1961. Simmetria SU(3) & *Eightfold Way*
- Gell-Mann e Zweig, 1964

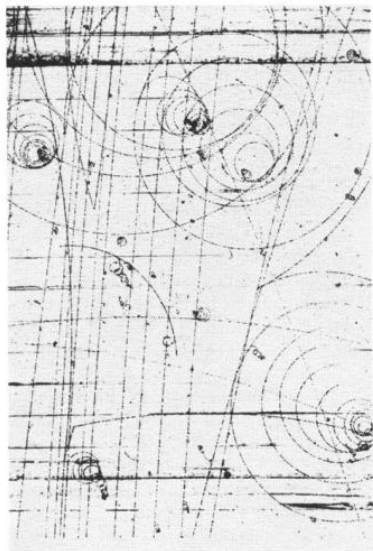
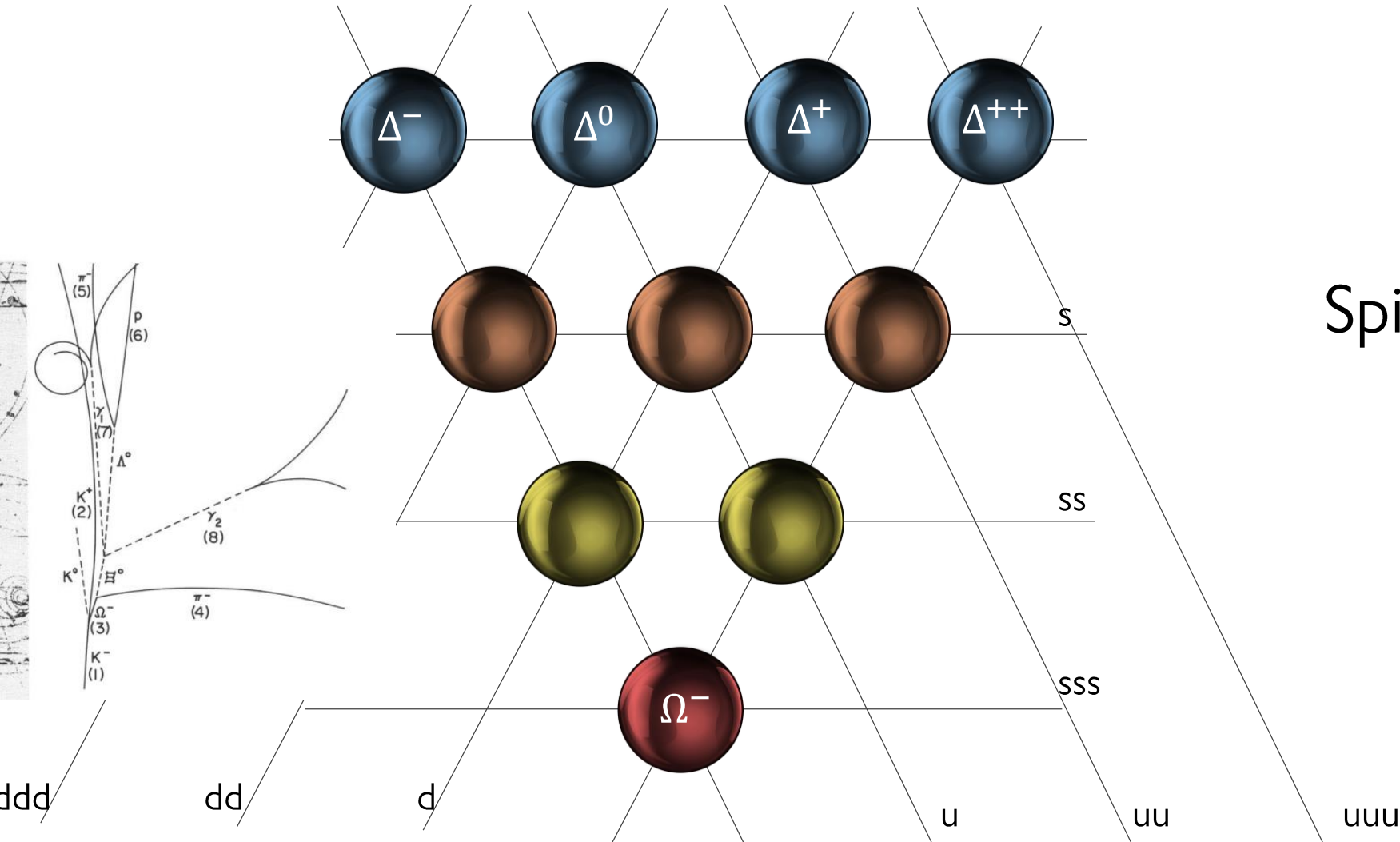
3 particelle elementari
per costruire tutti i barioni e i mesoni





- Gell-Mann e Ne'eman, 1961. Simmetria SU(3) & *Eightfold Way*
- Gell-Mann e Zweig, 1964

3 particelle elementari
per costruire tutti i barioni e i mesoni



Barnes et al,
1964



“ ...the idea that mesons and baryons are made primarily of quarks is hard to believe..”

M. Gell-Mann, 1966

“ Additional data are necessary and very welcome to destroy the picture of elementary constituents.”

J. Bjorken, 1967

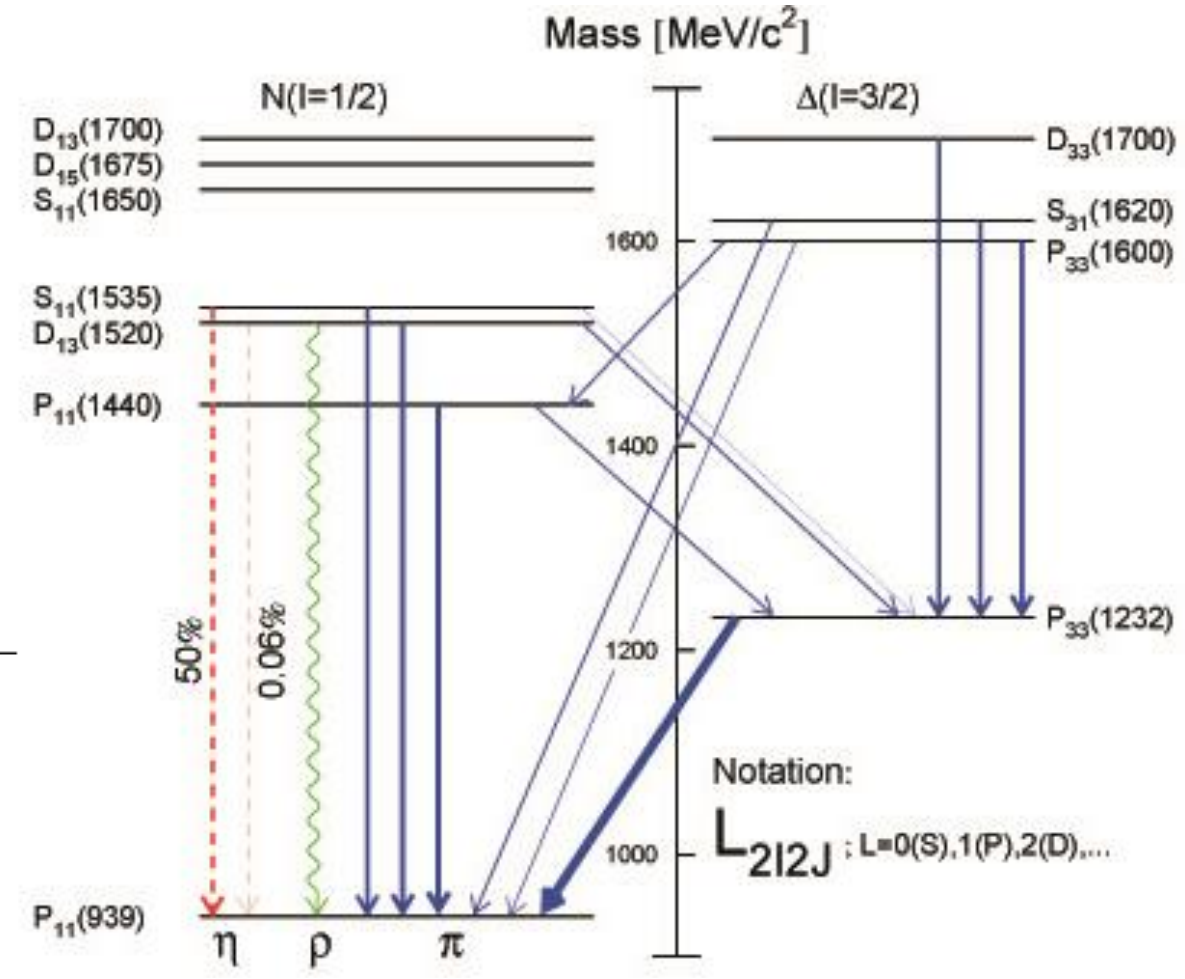
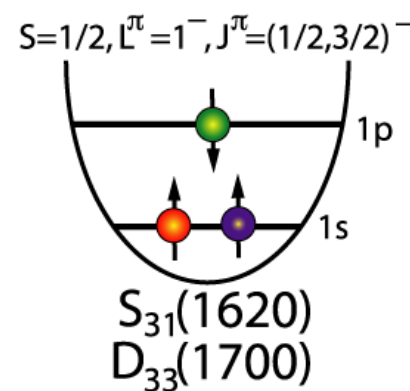
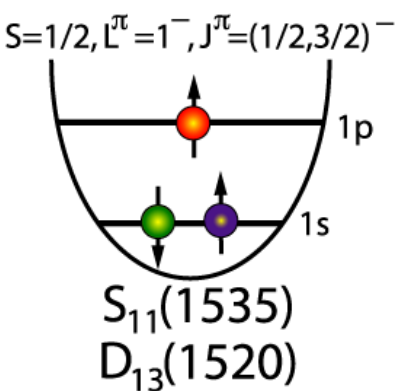
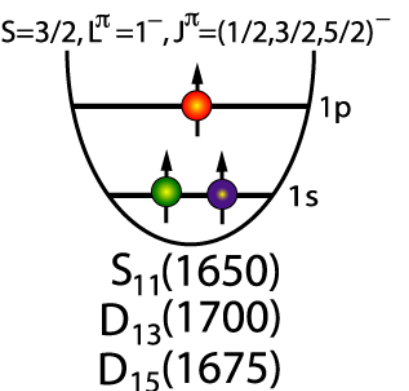
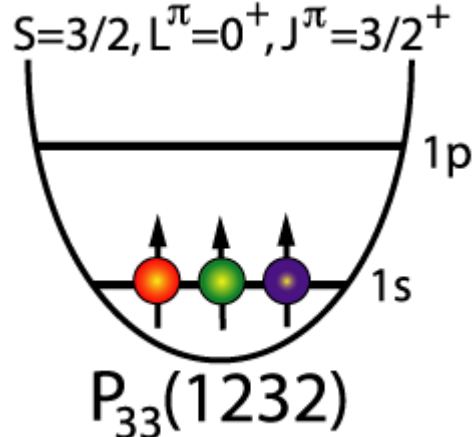
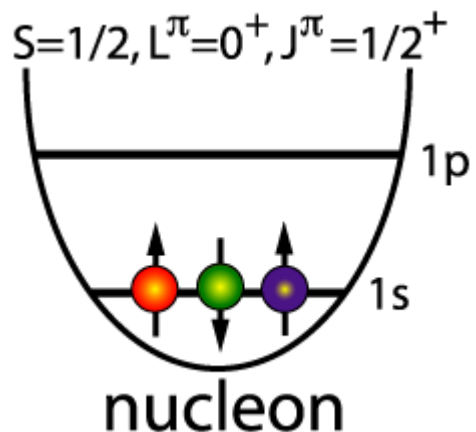
“ I think Professor Bjorken and I constructed the sum rules in the hope of destroying the quark model.”

K. Gottfrid, 1967

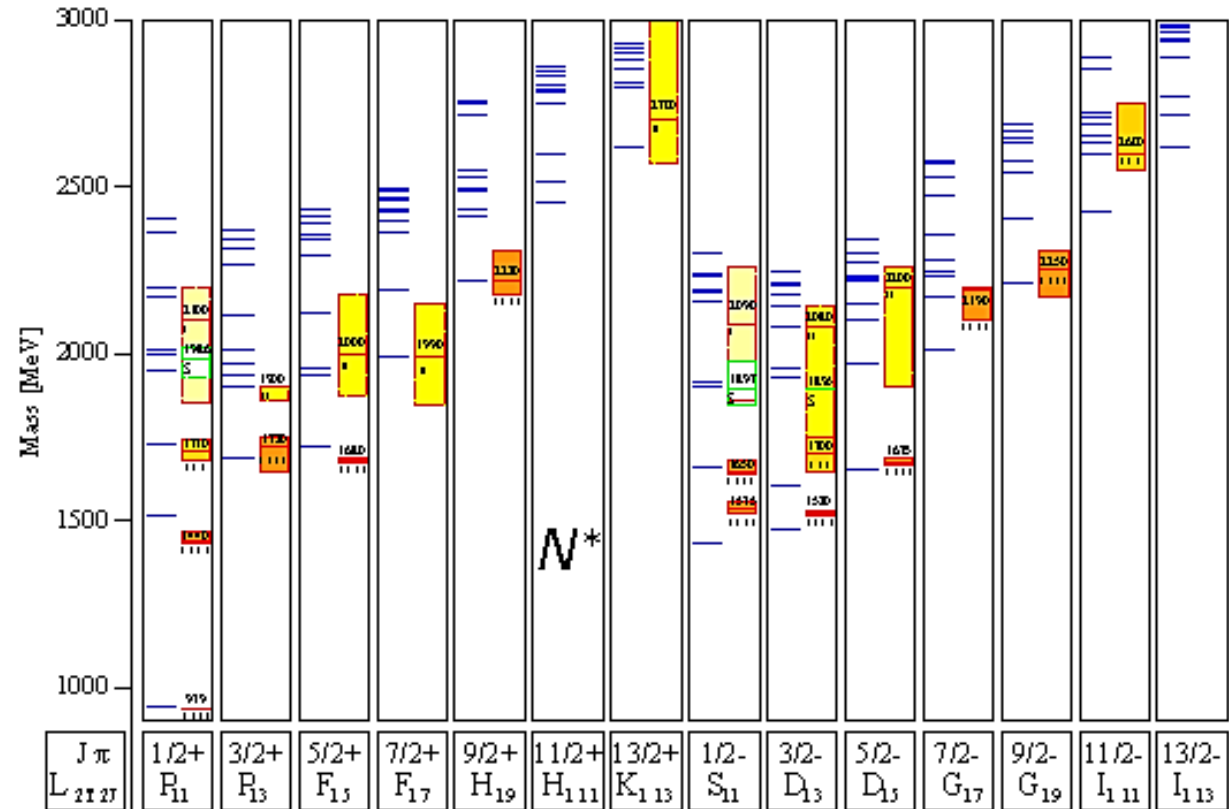
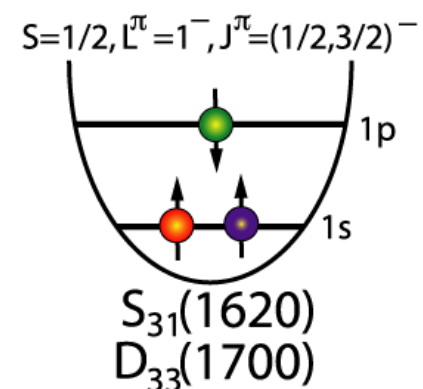
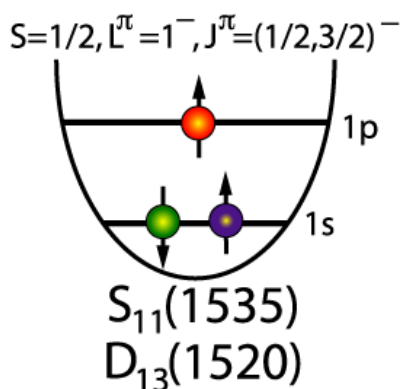
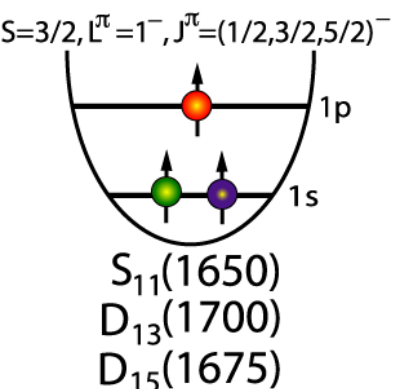
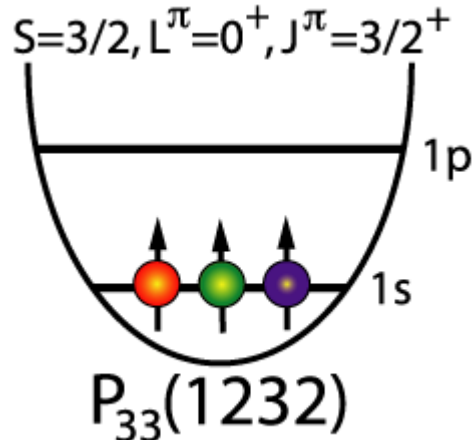
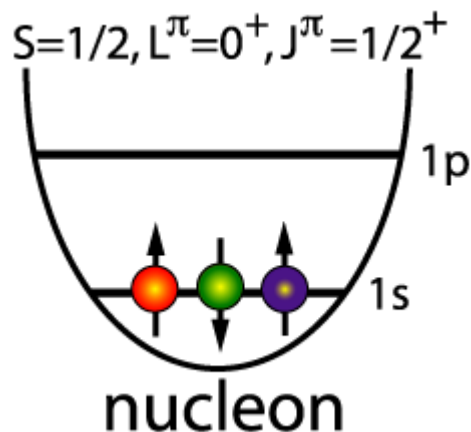
“ Of course the whole quark idea is ill founded.”

J.J. Kokkedee, 1969

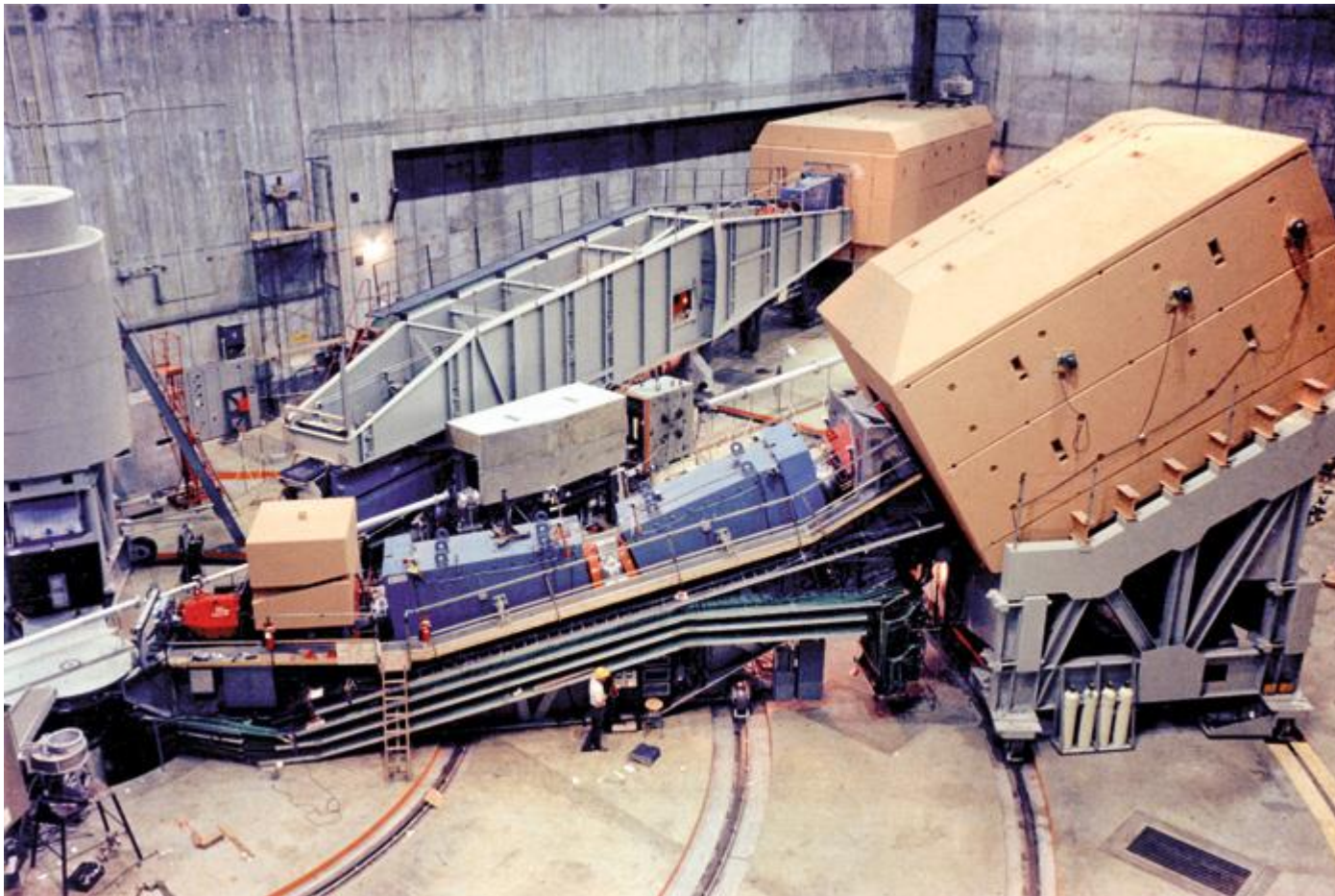
Risonanze



Risonanze



Gli esperimenti a SLAC



Gli esperimenti a SLAC

2000

1950

1900

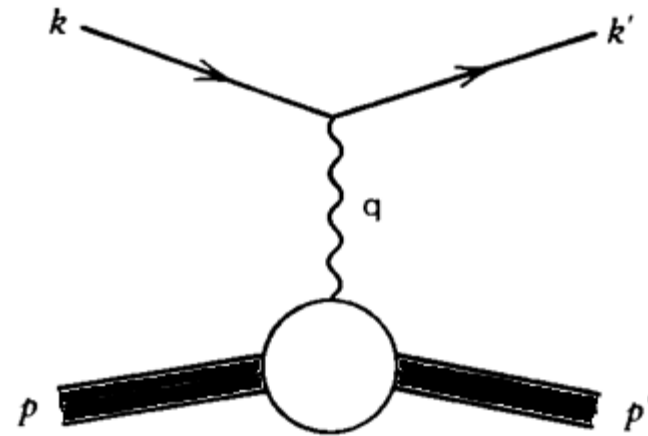
1850

1800



Gli esperimenti a SLAC

1968-1973, Scattering elastico... protone "soft"



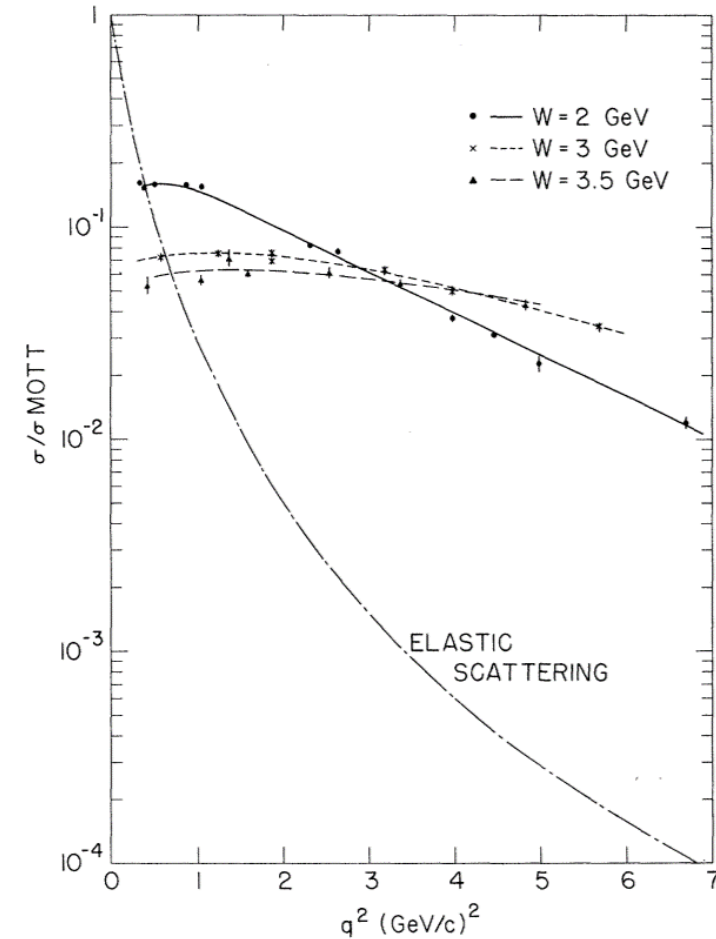
Gli esperimenti a SLAC

1968-1973, Scattering elastico... protone "soft"

Primi esperimenti di scattering anelastico, SLAC-MIT (1967)

$$e + p \rightarrow e + \text{Altro}$$

$E = 20 \text{ GeV}$ (10^{10} volte luce ordinaria, $\lambda = hc/E$)



Gli esperimenti a SLAC

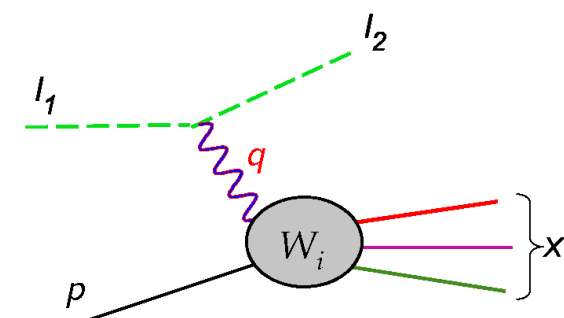
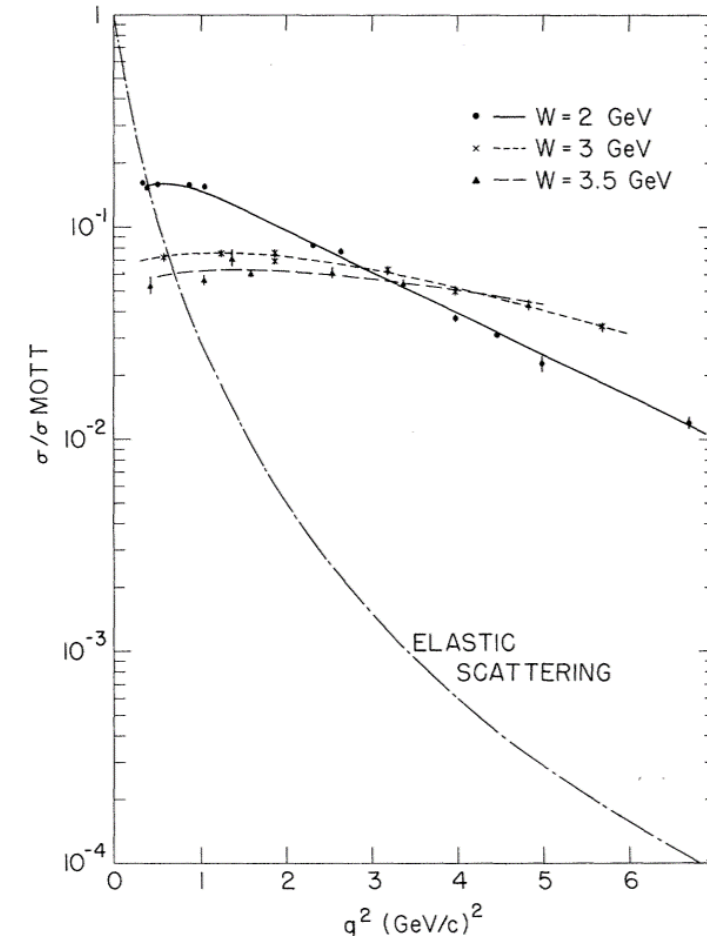
1968-1973, Scattering elastico... protone "soft"

Primi esperimenti di scattering anelastico, SLAC-MIT (1967)

$$e + p \rightarrow e + \text{Altro}$$

$E = 20 \text{ GeV}$ (10^{10} volte luce ordinaria, $\lambda = hc/E$)

$Q \text{ [GeV]}$	$\lambda \text{ [fm]}$	bersaglio
0.02	10	Nuclei
0.1	2	
0.2	1	Nucleoni
> 1	< 0.2	Strutture più interne



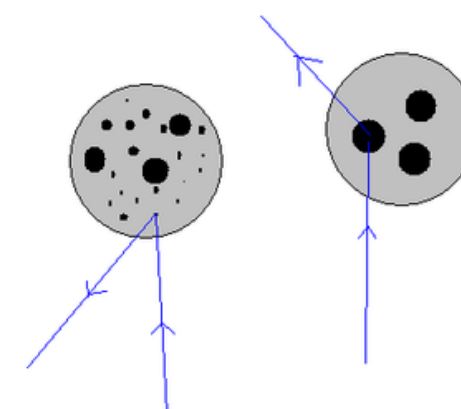
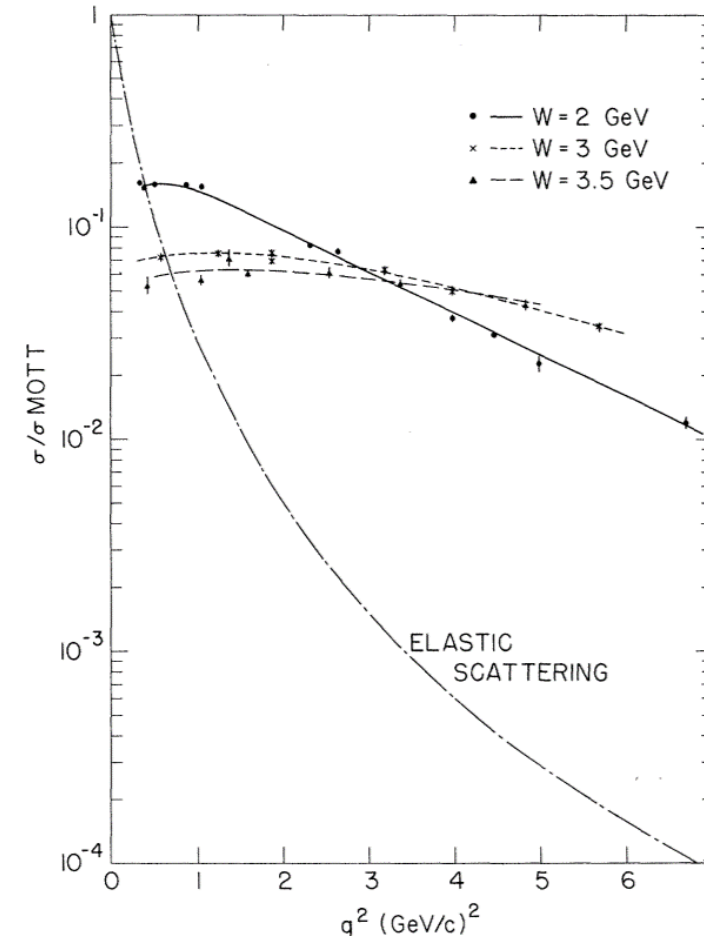
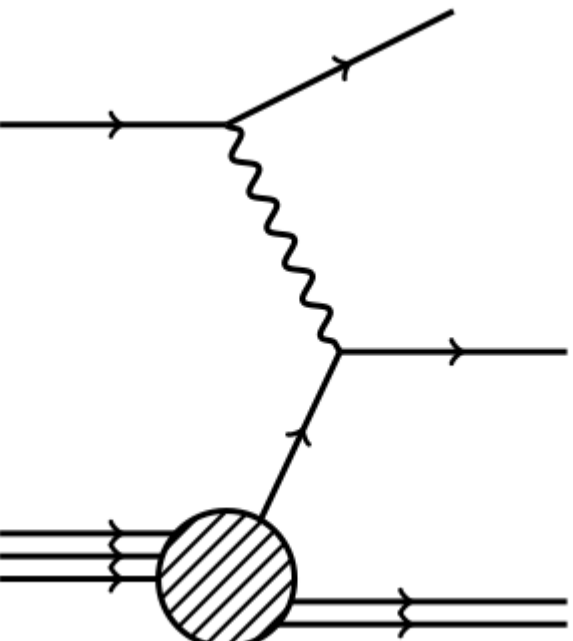
Gli esperimenti a SLAC

$$e + p \rightarrow e + \text{Altro}$$

Q [GeV]	λ [fm]	bersaglio
0.02	10	Nuclei
0.1	2	
0.2	1	Nucleoni
> 1	< 0.2	Strutture più interne

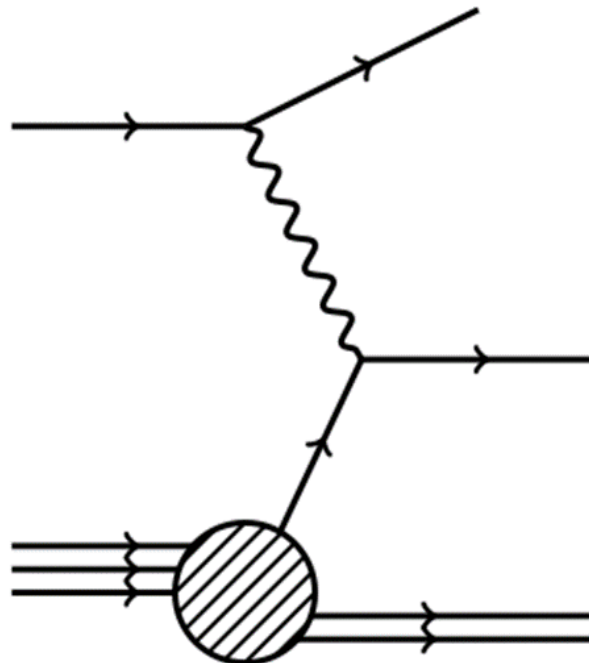
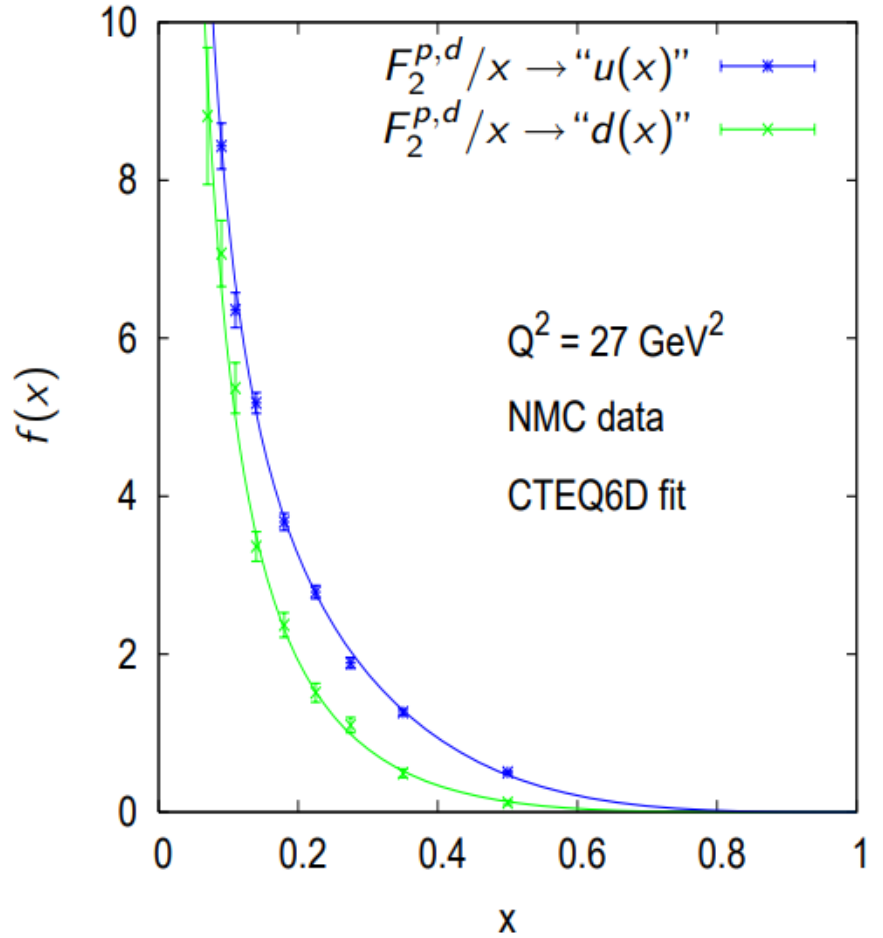
Bjorken, 1968. Scaling,

Feynman, 1969. Partoni



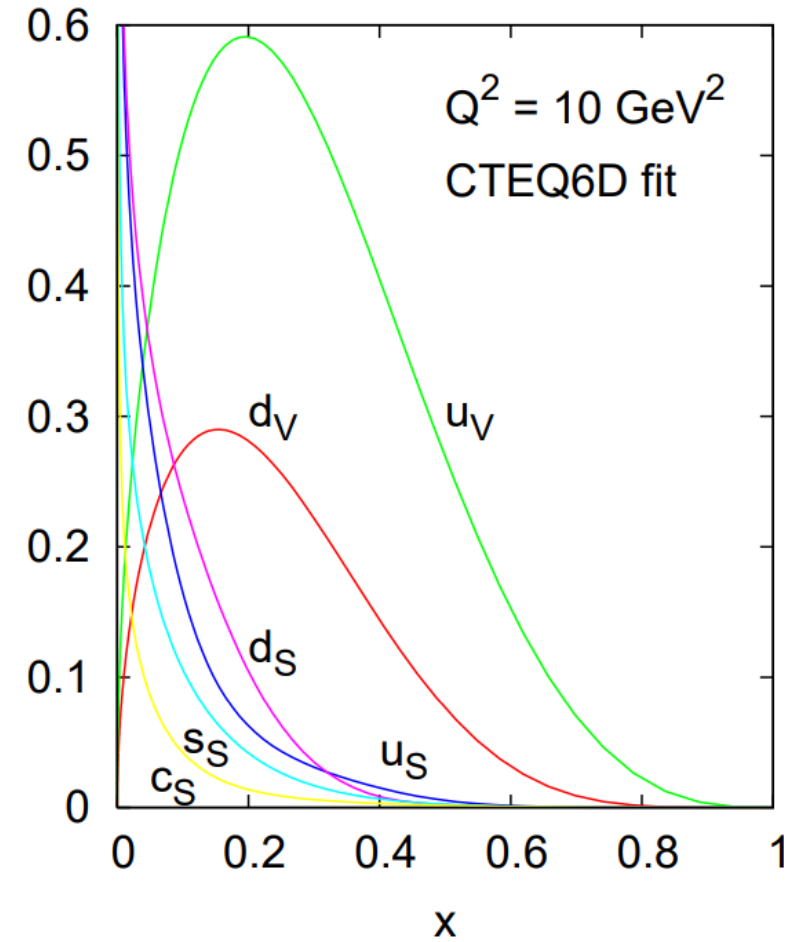
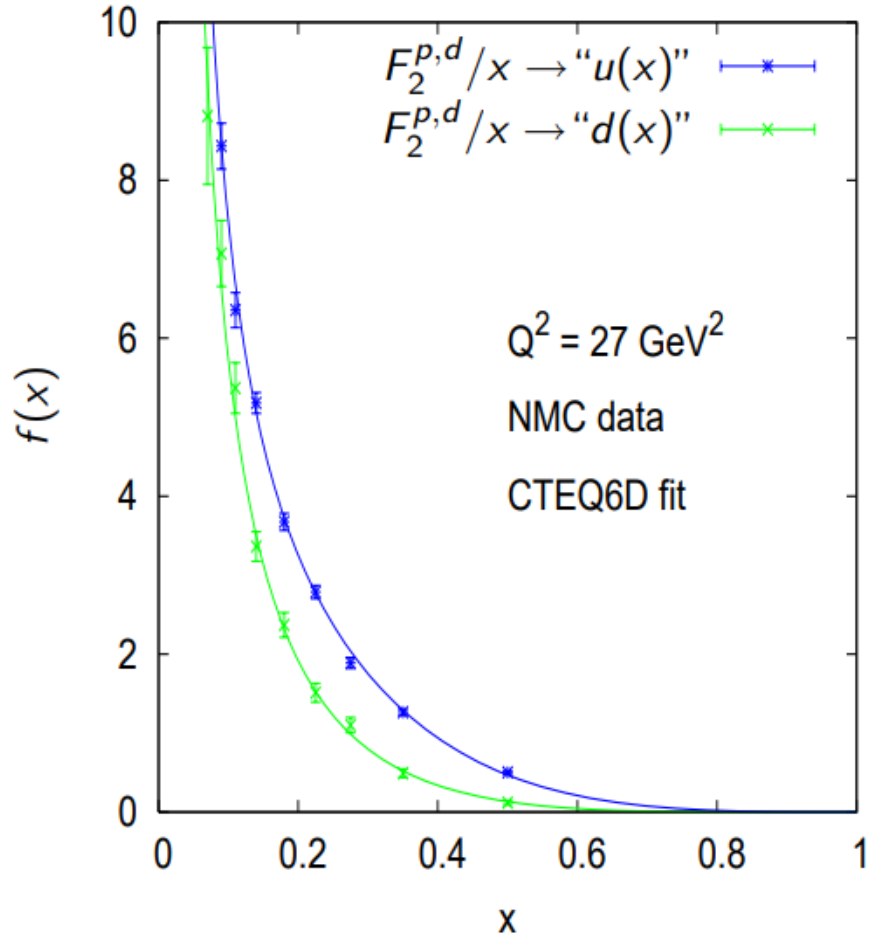
Partoni

$$\sigma(k) \sim \sum_i \int dx \ f_i(x) \ \sigma_{el}(xk)$$



Partoni

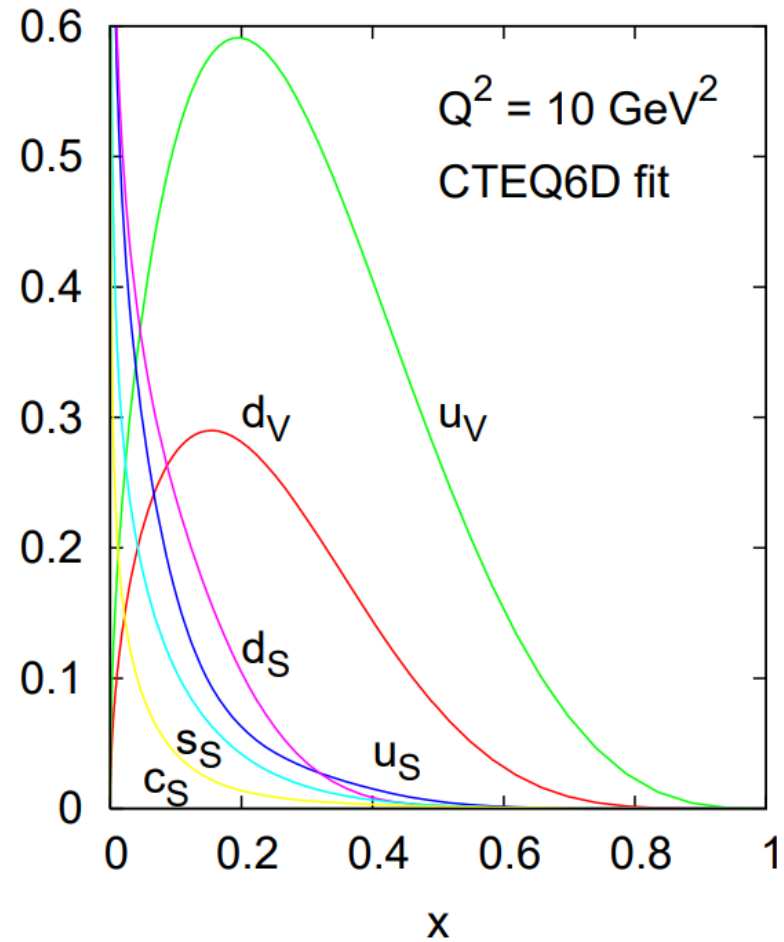
$$\sigma(k) \sim \sum_i \int dx \ f_i(x) \ \sigma_{el}(xk)$$



Partoni

$$\sigma(k) \sim \sum_i \int dx f_i(x) \sigma_{el}(xk)$$

$$\sum_i \int dx x f_i(x) = 1 \quad ?$$

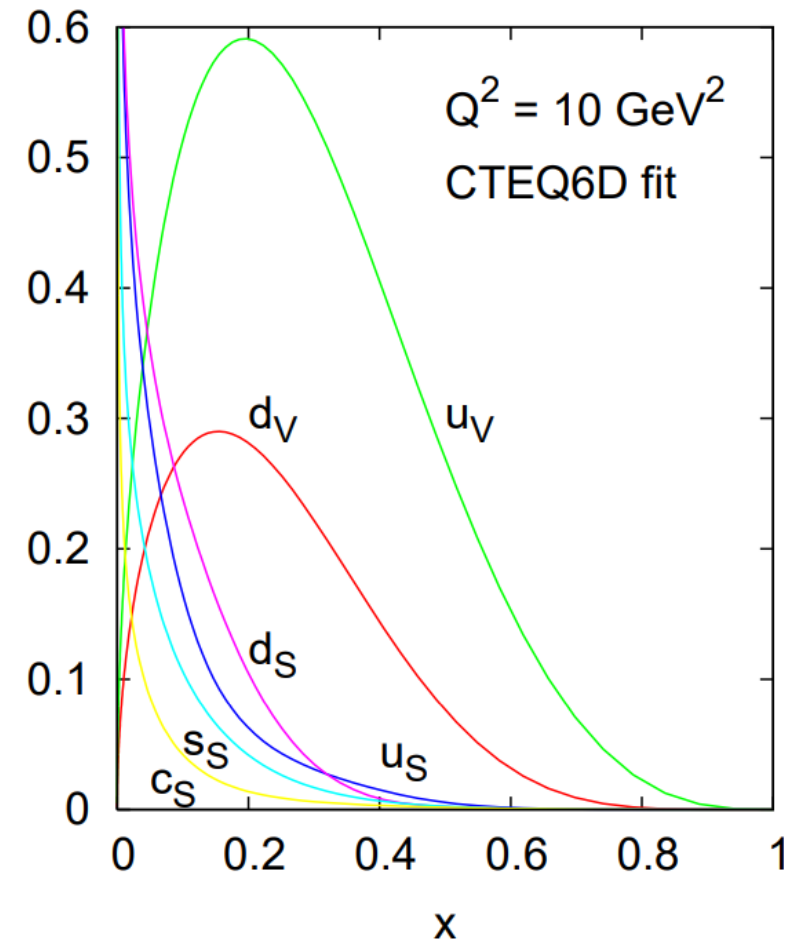


Partoni

$$\sigma(k) \sim \sum_i \int dx f_i(x) \sigma_{el}(xk)$$

$$\sum_i \int dx x f_i(x) = 1 \quad ?$$

q_i	momentum
d_V	0.11
u_V	0.26
d_S	0.06
u_S	0.05
s_S	0.03
c_S	0.01
total	0.54

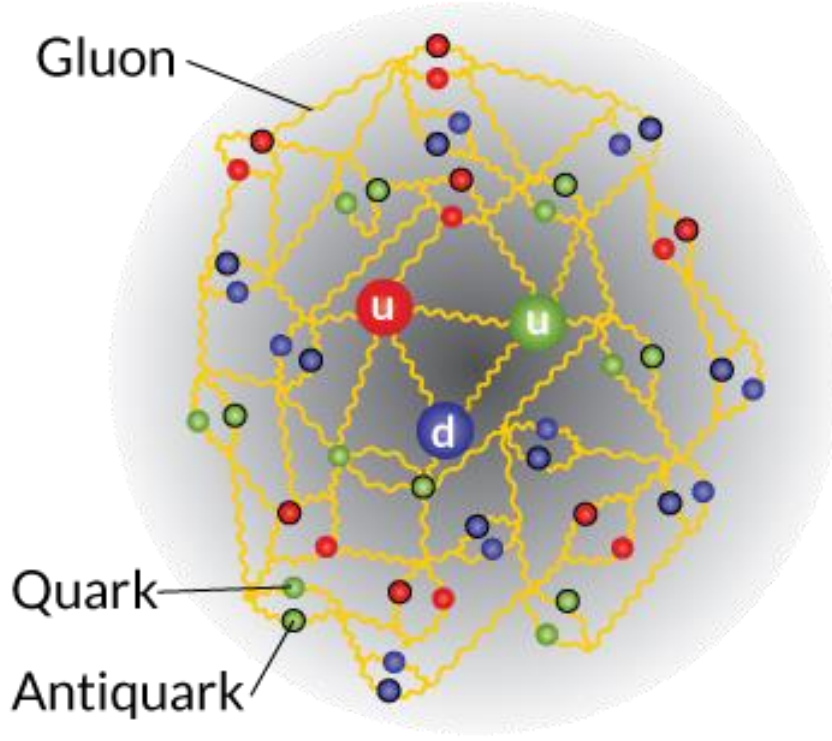


Partoni

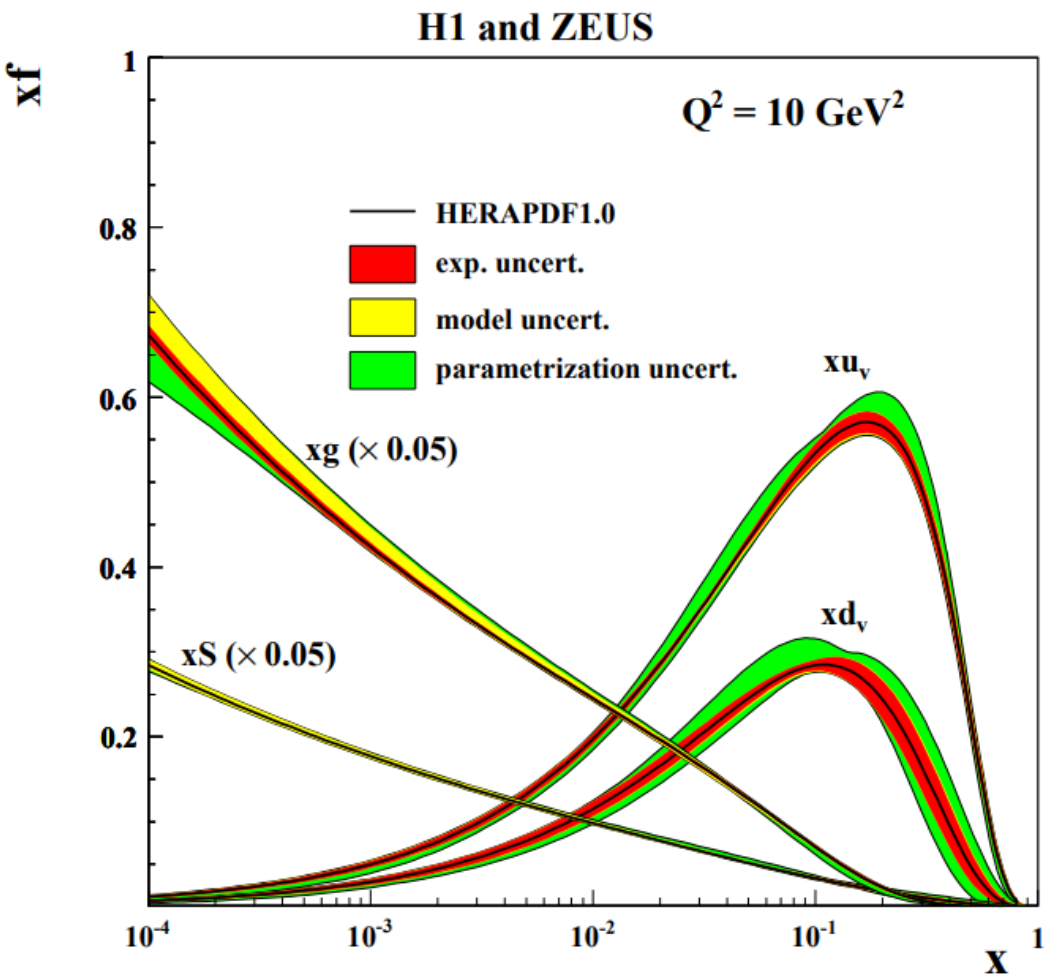
$$\sigma(k) \sim \sum_i \int dx f_i(x) \sigma_{el}(xk)$$

$$\sum_i \int dx x f_i(x) = 1 \quad ?$$

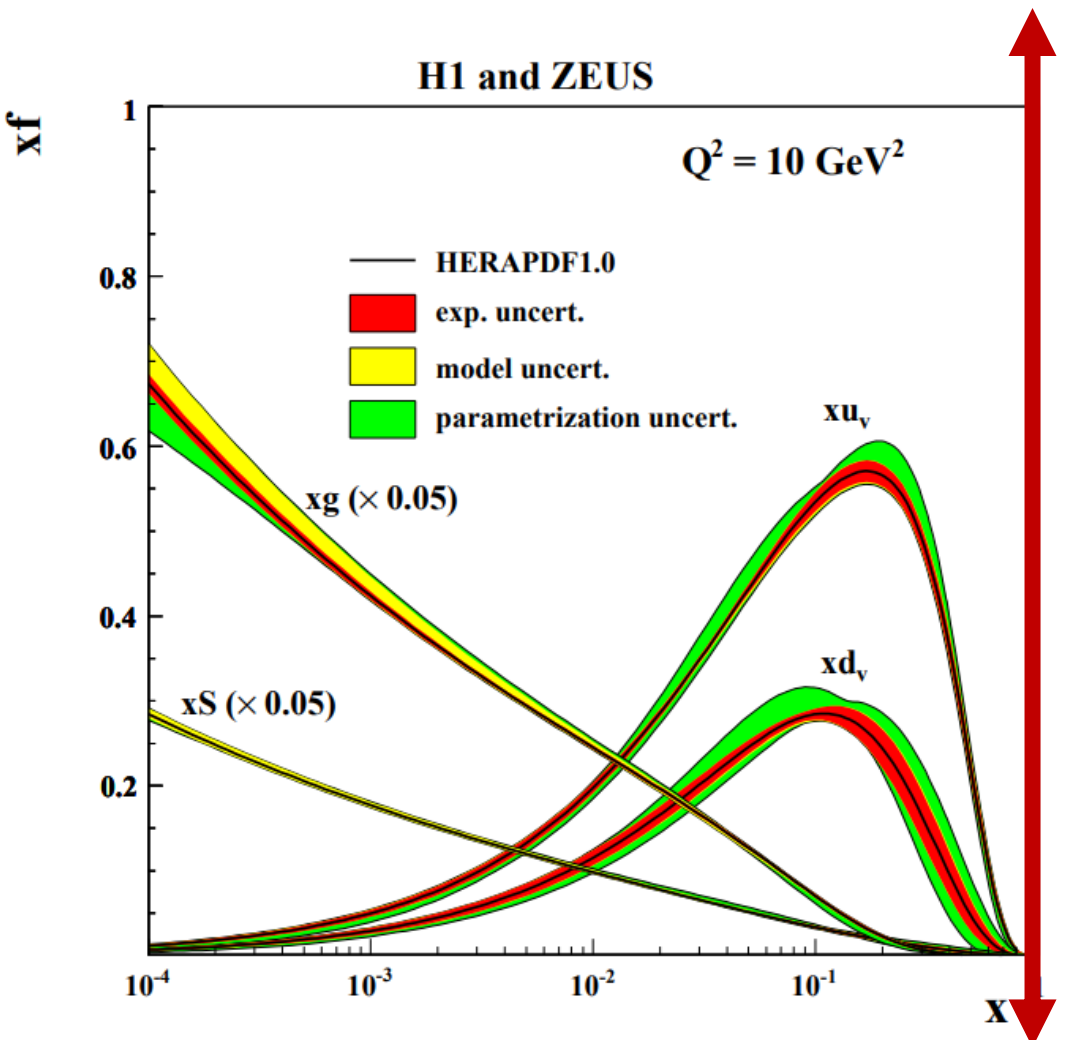
q_i	momentum
d_V	0.11
u_V	0.26
d_S	0.06
u_S	0.05
s_S	0.03
c_S	0.01
total	0.54



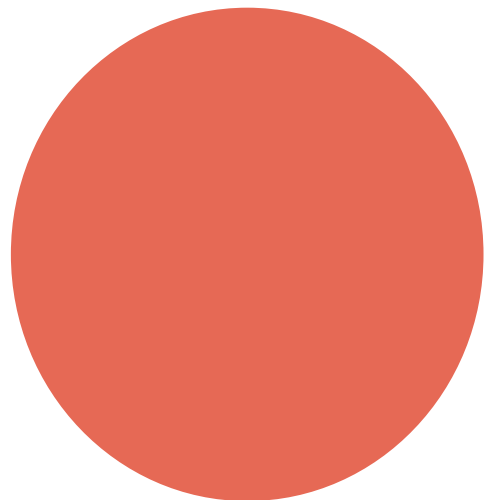
Partoni



Partoni

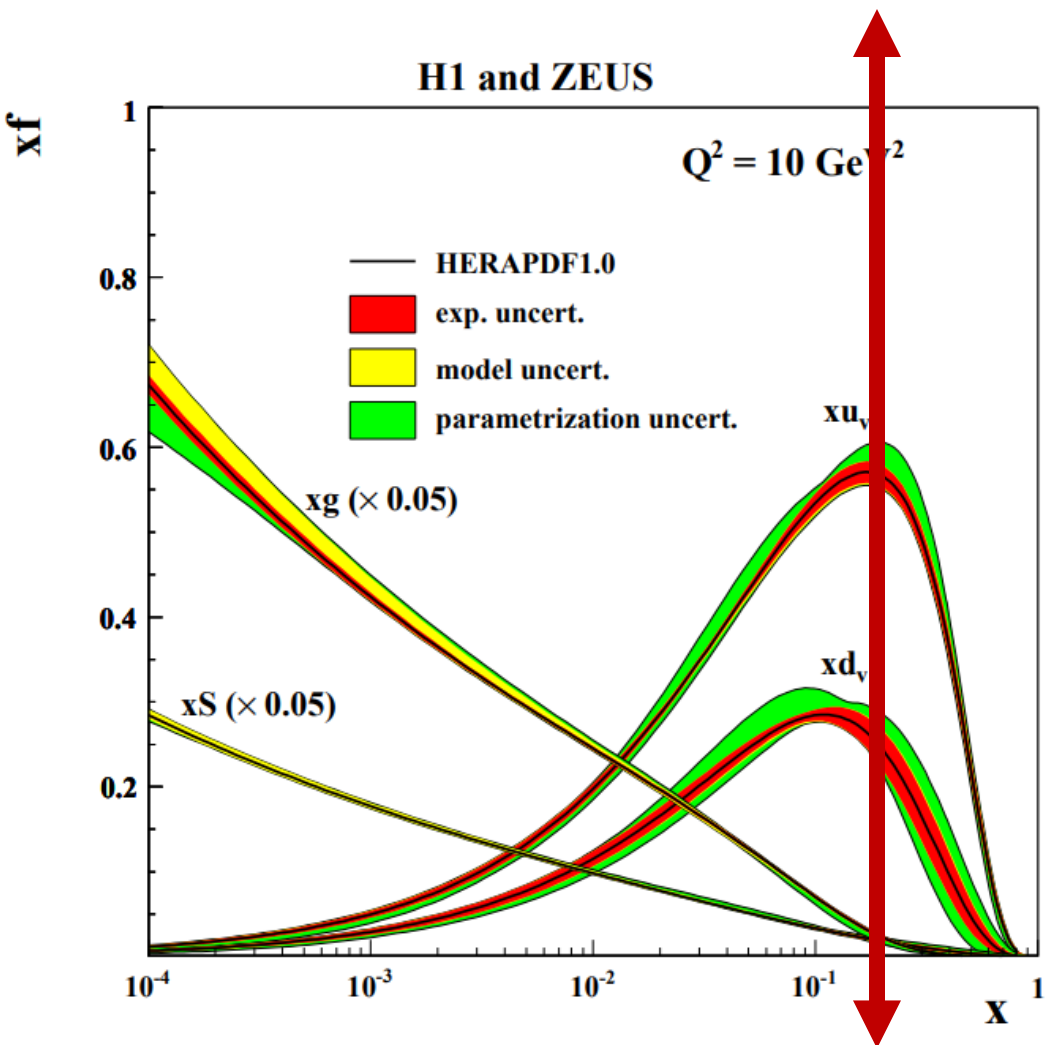


Rutherford

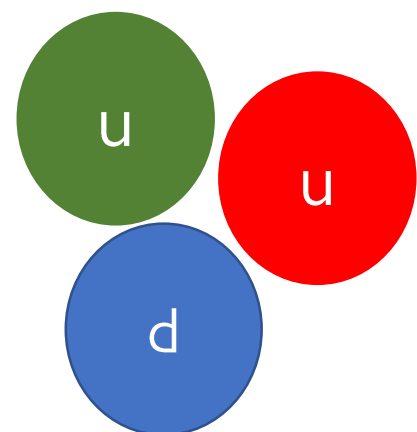


2000
1950
1900
1850
1800
1750
1700
1650
1600
1550
1500
1450
1400
1350
1300
1250
1200
1150
1100
1050
1000
950
900
850
800
750
700
650
600
550
500
450
400
350
300
250
200
150
100
50
0

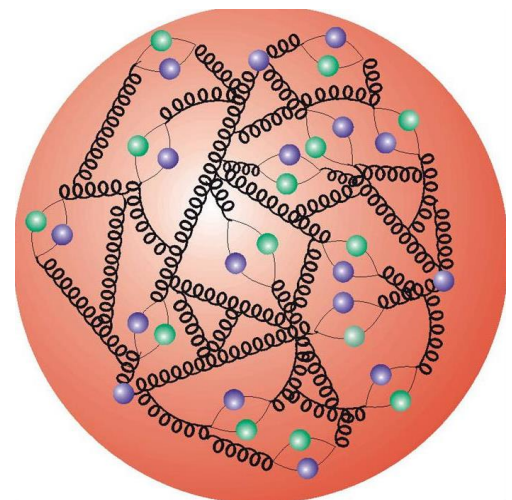
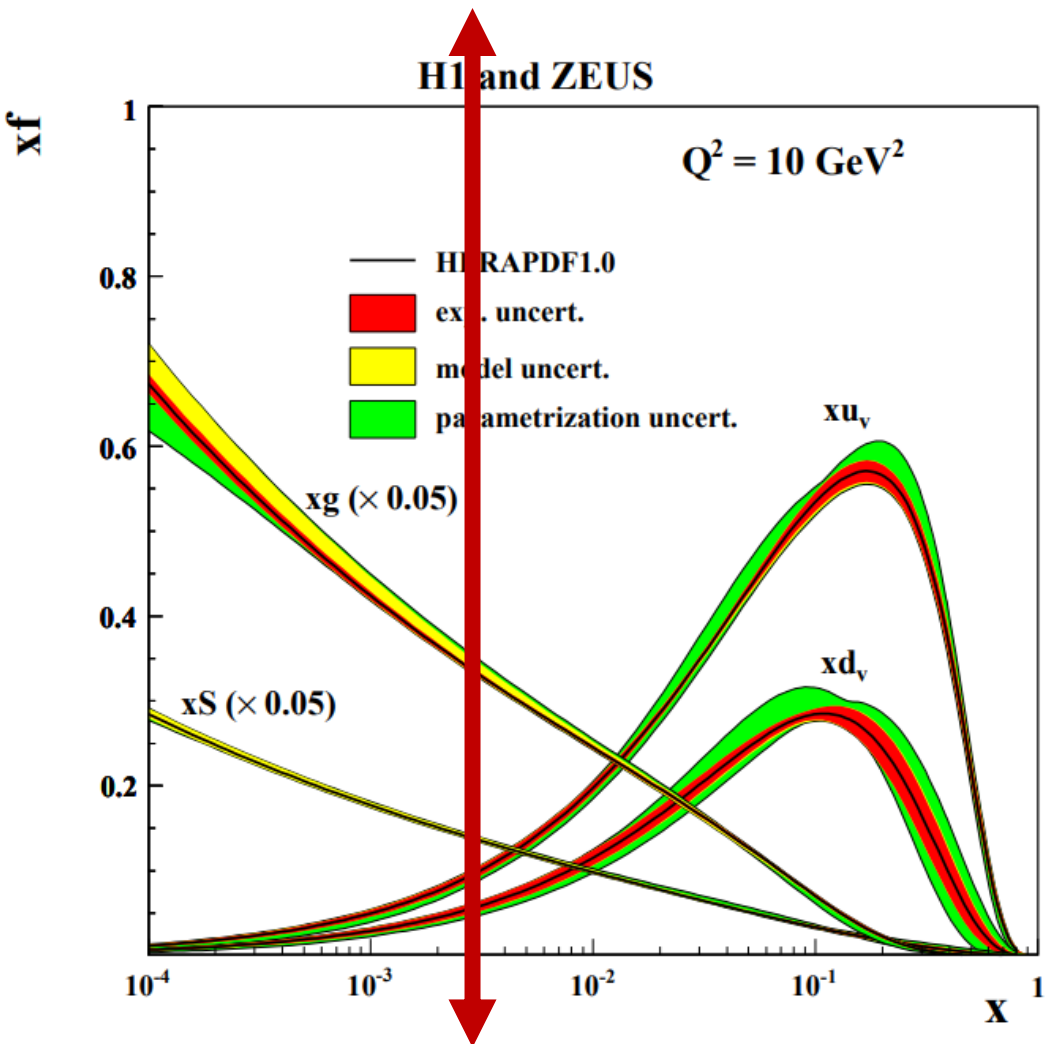
Partoni



SLAC-MIT



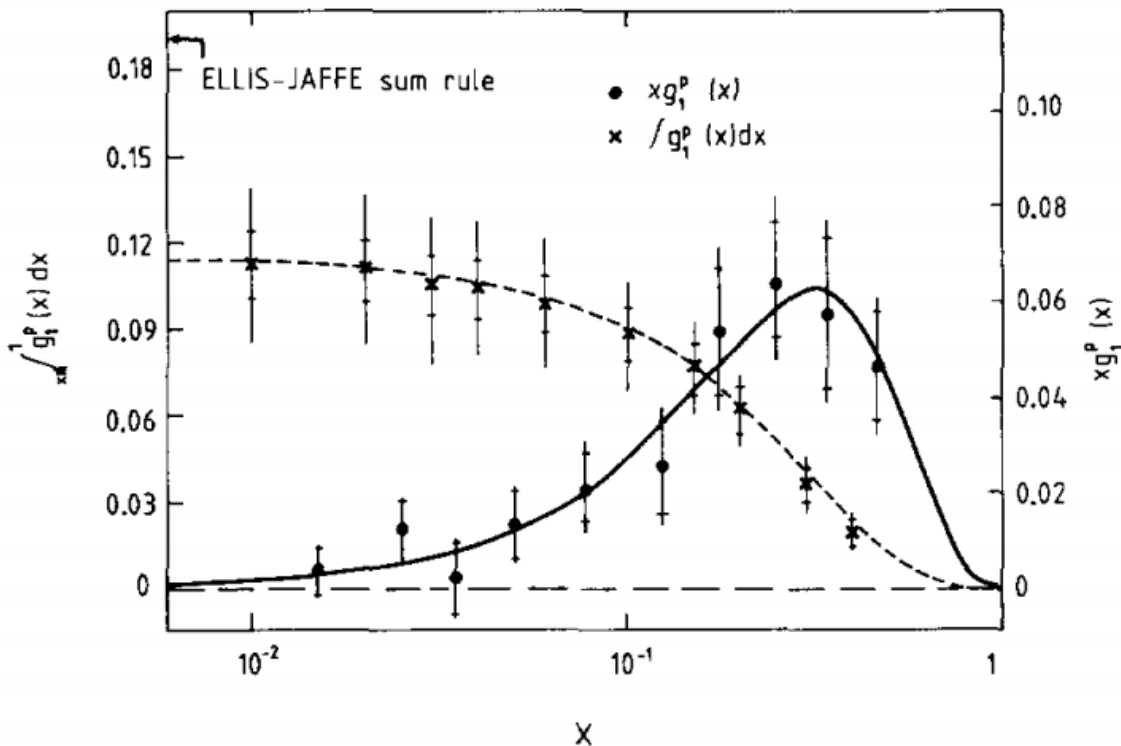
Partoni



Spin

$$\Gamma_1 = \int dx g_1(x) = 0.185 ?$$

$$\text{Spin} = \frac{1}{2} = S_q + L_q + L_{qq} + J_g$$



«This values for the integral of g_1 lead to the conclusion that the total quark spin constitutes a rather small fraction of the spin of the nucleon»

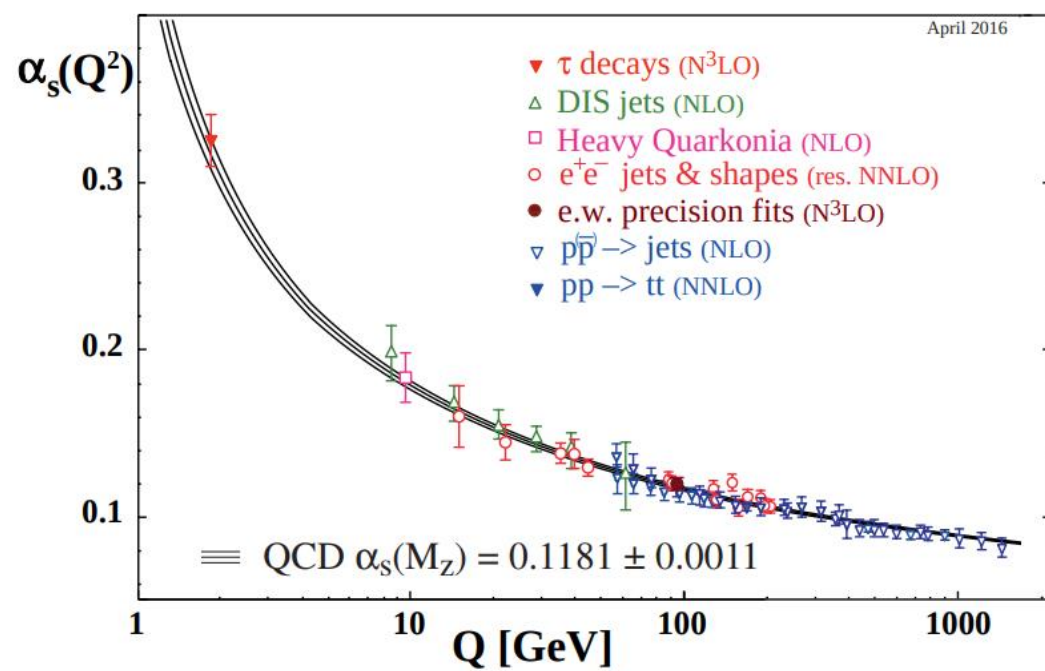
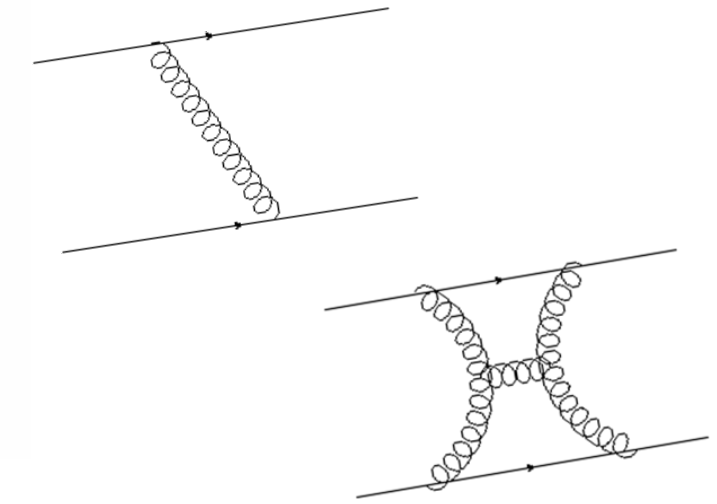
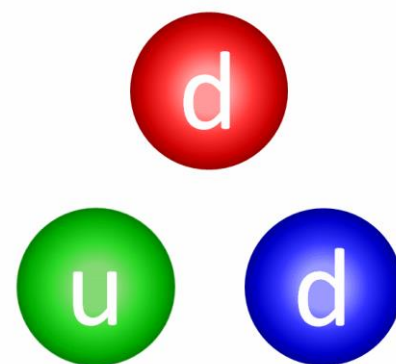
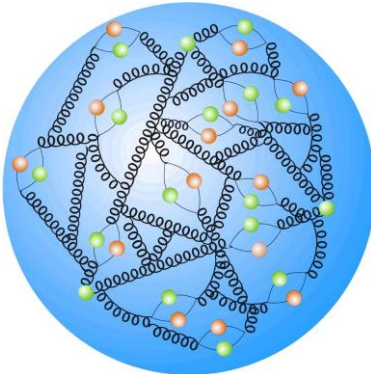
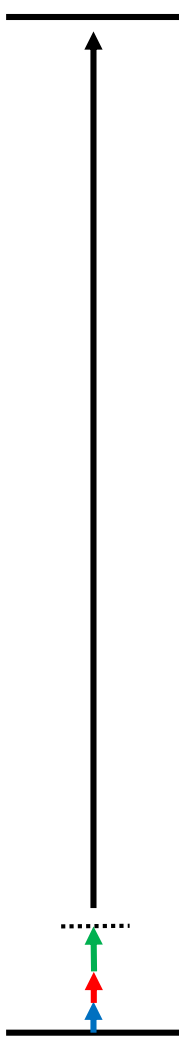
EMC collaboration, 1988



QCD

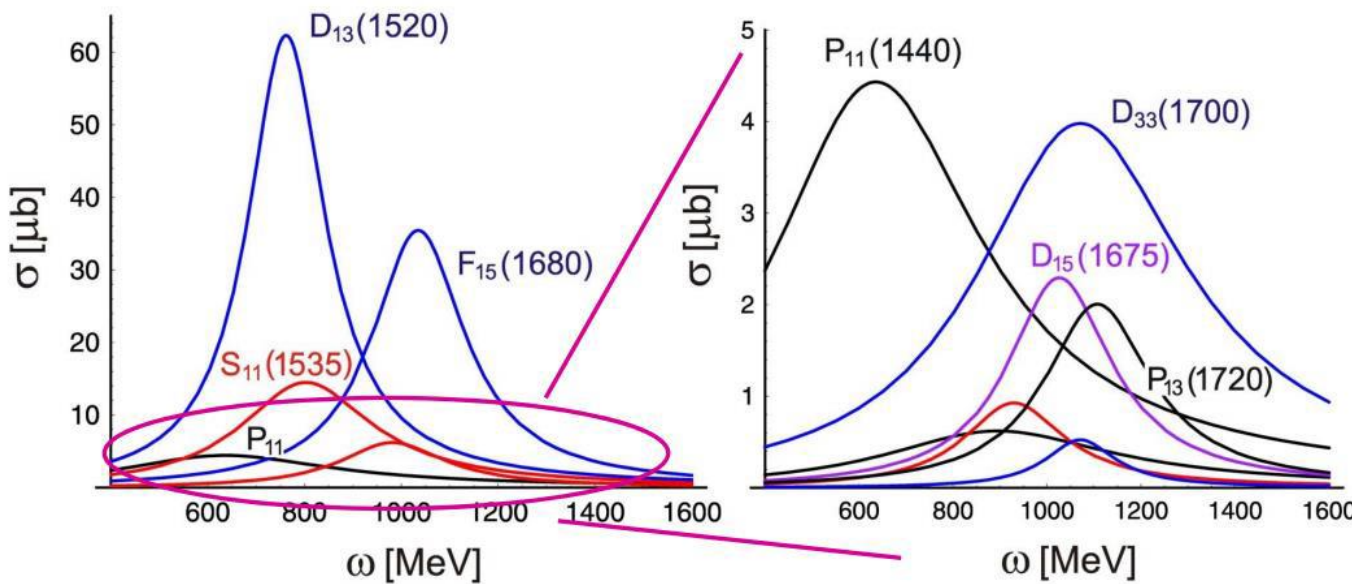
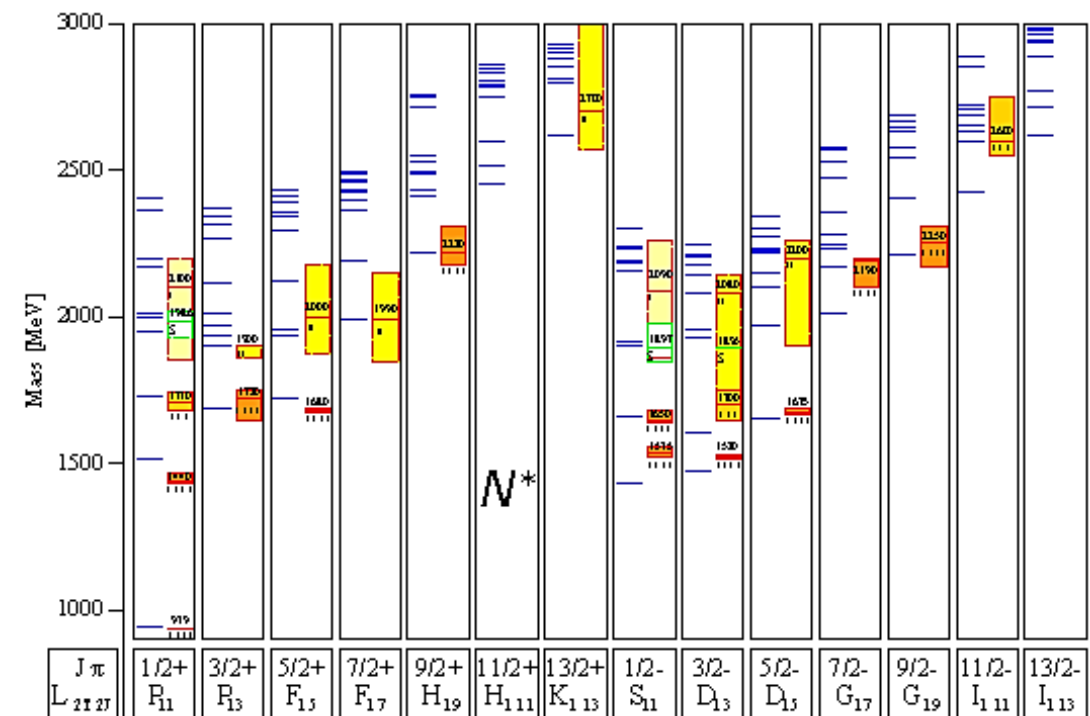
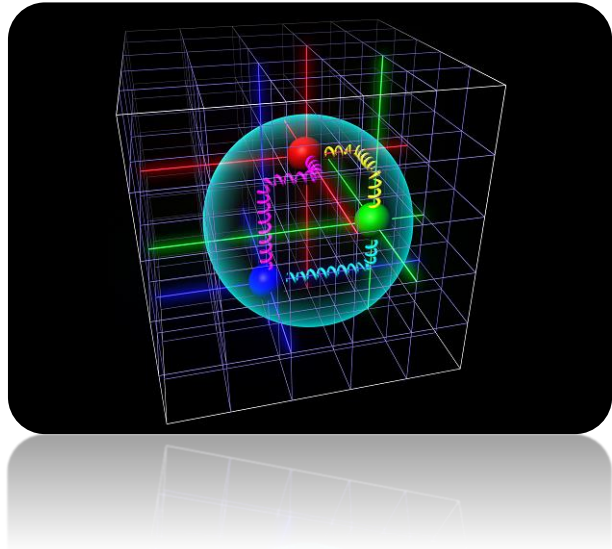
$$M_P = 938 \text{ MeV}$$

$$\begin{aligned} m_u &\simeq 2 \text{ MeV} \\ m_d &\simeq 4 \text{ MeV} \end{aligned}$$

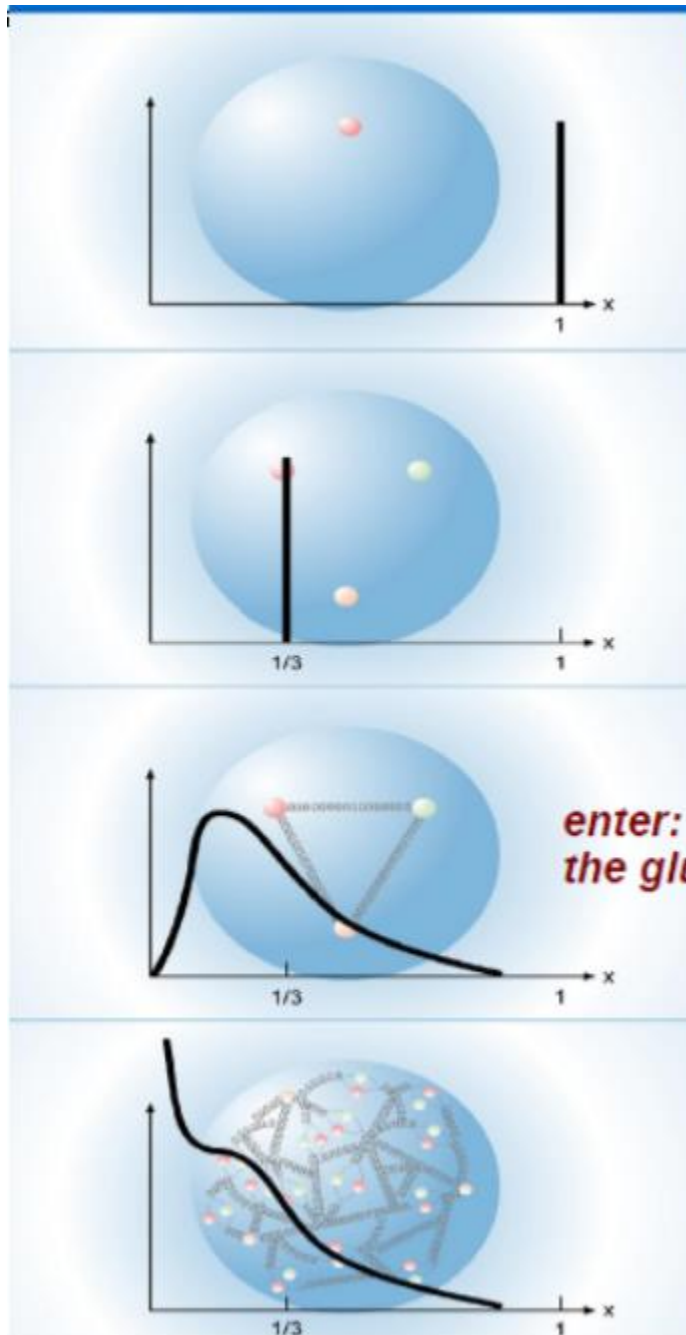


Backup

Risonanze



PROTON STRUCTURE



1 quark

proton=pointlike particle,
no structure

3 quarks

each quark carries
1/3 of proton momentum
 $x=1/3$

3 bound valence quarks

3 quarks share
proton momentum

3 bound valence quarks and sea quarks

valence and seaquarks
(and gluons) share proton
momentum – very low
momentum fractions
possible

$q\bar{q}$ sea!